

REGIONE CAMPANIA

PROVINCIA DI SALERNO



COMUNE DI CETARA

ADEGUAMENTO E AMPLIAMENTO DEL MOLO DI SOTTOFLUTTO FUNZIONALE ALLE ATTIVITA' MERCATALI DELLA PESCA ED AL TRASPORTO PUBBLICO MARITTIMO

PROGETTO ESECUTIVO



Codice elaborato:

R.7.2

Titolo elaborato:

Relazione di calcolo banchina di prolungamento ed ampliamento sottoflutto

Scala:

Data:

GIUGNO 2021

R. T. P.:

S.A.I.L. - Studio Associato d'Ingegneria Linguiti

Dott. ing. Fabio Linguiti
Dott. ing. Antonio Fabozzi

Capogruppo/Mandatario

Dott. ing. Francesco Sarnicola

Mandante

Dott. ing. Antonio Giuseppe Volpe

Mandante

Dott. geol. Federico Tarallo

Mandante

Rif.	Data	DESCRIZIONE	



COMUNE DI CETARA

ADEGUAMENTO INFRASTRUTTURALE E REALIZZAZIONE DI LOCALI PER ATTIVITA' DI ESPOSIZIONE E VENDITA DEL PESCATO NEL MOLO DI SOTTOFLUTTO

Progetto Esecutivo: R.7.2 - Relazione di calcolo banchina di prolungamento ed ampliamento sottoflutto

INDICE

PREMESSA	1
1. NORMATIVE DI RIFERIMENTO	1
2. DESCRIZIONE DELLE OPERE IN PROGETTO.....	2
3. METODO E CODICI DI CALCOLO	6

PREMESSA

Nella presente relazione sono state eseguite le verifiche strutturali dei moduli di progetto costituenti l'ampliamento e l'allungamento del molo sottoflutto.

1. NORMATIVE DI RIFERIMENTO

- Legge nr. 1086 del 05/11/1971.

Norme per la disciplina delle opere in conglomerato cementizio, normale e precompresso ed a struttura metallica.

- Legge nr. 64 del 02/02/1974.

Provvedimenti per le costruzioni con particolari prescrizioni per le zone sismiche.

- D.M. LL.PP. del 11/03/1988.

Norme tecniche riguardanti le indagini sui terreni e sulle rocce, la stabilità dei pendii naturali e delle scarpate, i criteri generali e le prescrizioni per la progettazione, l'esecuzione e il collaudo delle opere di sostegno delle terre e delle opere di fondazione.

- D.M. LL.PP. del 14/02/1992.

Norme tecniche per l'esecuzione delle opere in cemento armato normale e precompresso e per le strutture metalliche.

- D.M. 9 Gennaio 1996

Norme Tecniche per il calcolo, l'esecuzione ed il collaudo delle strutture in cemento armato normale e precompresso e per le strutture metalliche

- D.M. 16 Gennaio 1996

Norme Tecniche relative ai 'Criteri generali per la verifica di sicurezza delle costruzioni e dei carichi e sovraccarichi'

- D.M. 16 Gennaio 1996

Norme Tecniche per le costruzioni in zone sismiche

- Circolare Ministero LL.PP. 15 Ottobre 1996 N. 252 AA.GG./S.T.C.

Istruzioni per l'applicazione delle Norme Tecniche di cui al D.M. 9 Gennaio 1996

- Circolare Ministero LL.PP. 10 Aprile 1997 N. 65/AA.GG.

Istruzioni per l'applicazione delle Norme Tecniche per le costruzioni in zone sismiche di cui al D.M. 16 Gennaio 1996

- Norme Tecniche per le Costruzioni 2018 (D.M. 17 Gennaio 2018)

- Circolare C.S.LL.PP. 21/01/2019 n.7 - Istruzioni per l'applicazione dell'Aggiornamento delle Norme tecniche per le costruzioni di cui al D.M. 17 gennaio 2018

2. DESCRIZIONE DELLE OPERE IN PROGETTO

Il progetto prevede un allargamento di 5.25m del molo sottoflutto - lato Largo Marina -, per tutta la sua estensione e un allungamento, in testata, di 6.0 m per una larghezza di 8.00 m.

L'intervento vede la realizzazione, dal punto di vista strutturale, di 6 differenti moduli (Modulo A, B, C, C1, E, E1) costituiti da muri di sostegno a mensola con contrafforti le cui dimensioni sono variabili in funzione della profondità di posa e della loro ubicazione. In Fig.1 si riporta la disposizione planimetria dei moduli.

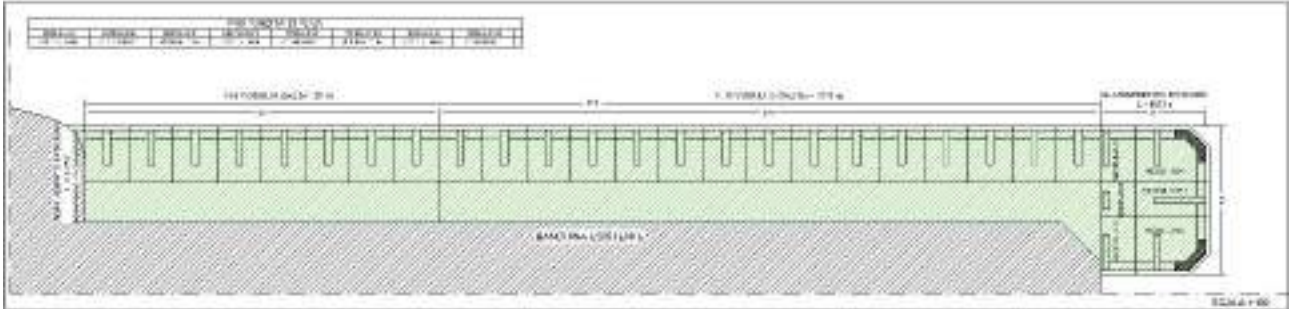


Fig. 1 – Disposizione planimetria dei moduli

Per i primi 20m l'allargamento della banchina è ottenuto con n.8 moduli del tipo A con piano di posa ad una profondità di - 3m s. l. m.m. (Vedi Fig. 2). Nei successivi 37.5m l'allargamento è ottenuto con n.15 moduli del tipo B con piano di posa ad una profondità di - 4m s. l. m.m. (Vedi Fig. 3).

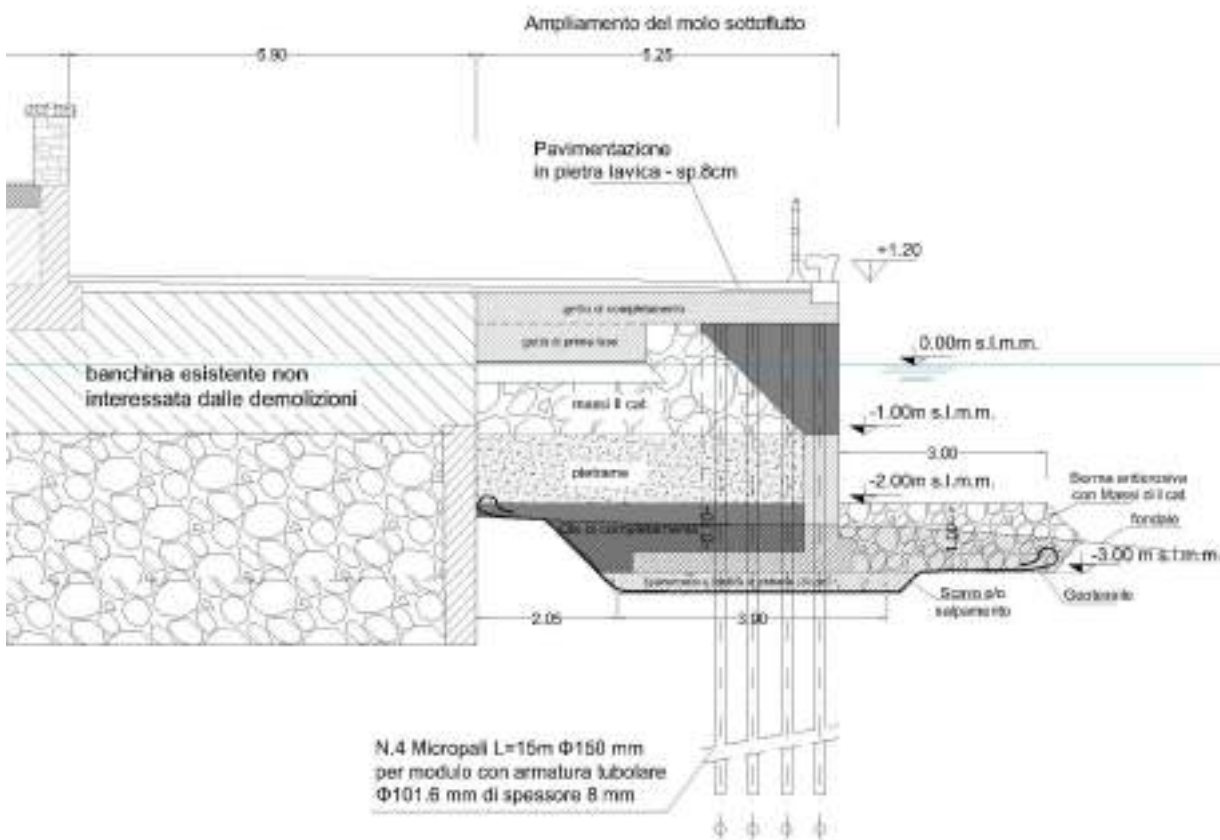


Fig. 2-Sezione tipo MODULO A

Di seguito si riposta inoltre la la sezione trasversale e longitudinale tipo del tratto di allungamento. (Vedi Fig. 5 e Fig. 6).

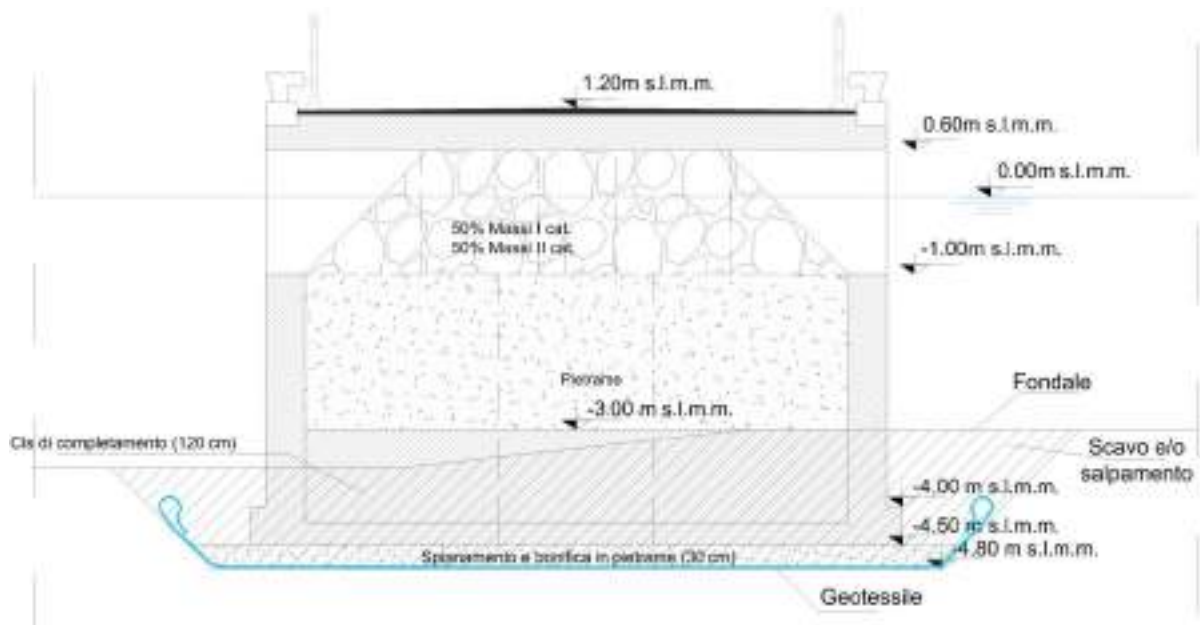


Fig. 5- Sezione trasversale tipo allungamento

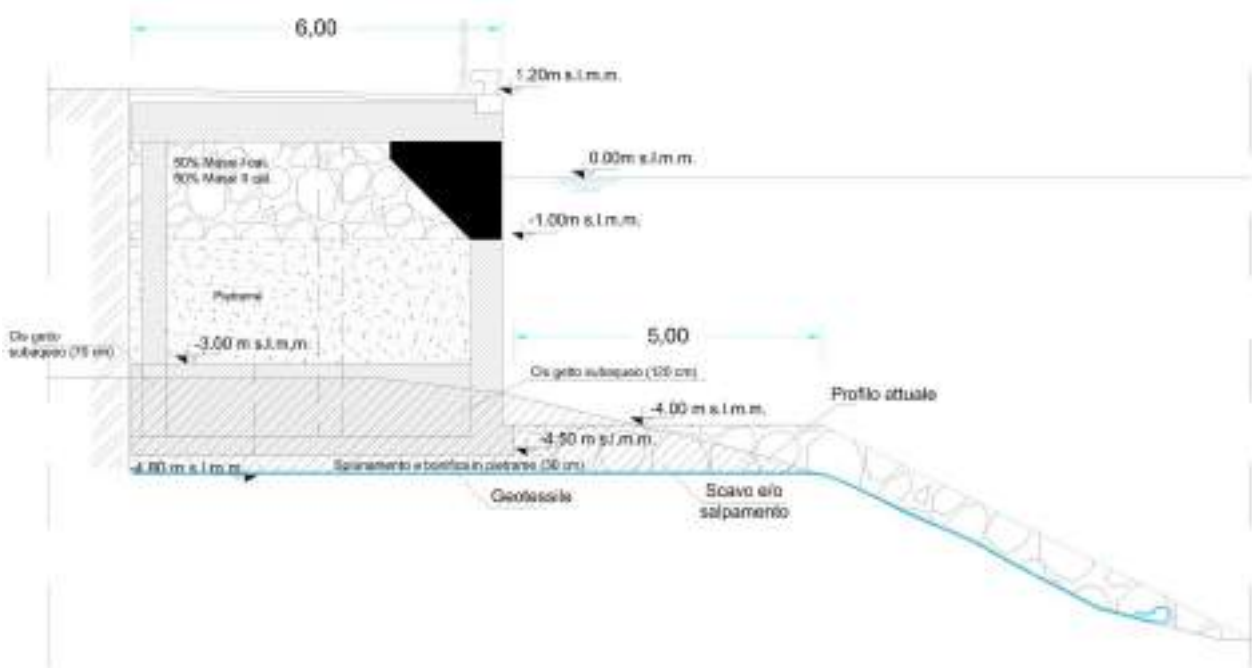


Fig. 6- Sezione longitudinale tipo allungamento

Ciascun modulo, ad eccezione dei moduli C1 e E1, presentano una predisposizione verso il lato esterno per la messa in opera di micropali, come si può osservare in (Fig. 7).

Inoltre su ciascun modulo viene posta la banchina di progetto, in particolare sui contrafforti, la quale ha uno spessore di 0.6 m e larghezza di 5.25 m fino al limite della banchina esistente (57.5 m), mentre in testata è larga 8.0 m.

I contrafforti presentano le medesime dimensioni per ciascuno dei moduli, vale a dire 0.4 x 1.5 m, tranne il modulo centrale del tratto di allungamento (modulo C1), che invece presenta le dimensioni di 0.4 x 1 m ed arrivano tutti alla quota di +0.6 m s. l. m.m, dovendo ospitare su di essi la banchina, la quale ha dunque la quota sommitale a +1.20 m s. l. m.m.

I moduli per la realizzazione della pavimentazione, vengono riempiti dall'alto verso il basso, a partire dalla quota +0.6 m s. l. m.m fino a - 1.0 m s. l. m.m da massi naturali di I categoria, con una inclinazione a 45° della mantellata lato mare e da - 1.0 m s. l. m.m fino alla profondità del fondale incontrato da pietrame, contrapponendo tra quest'ultimo strato e la profondità di posa del muro, un getto di calcestruzzo di completamento (Fig. 7).

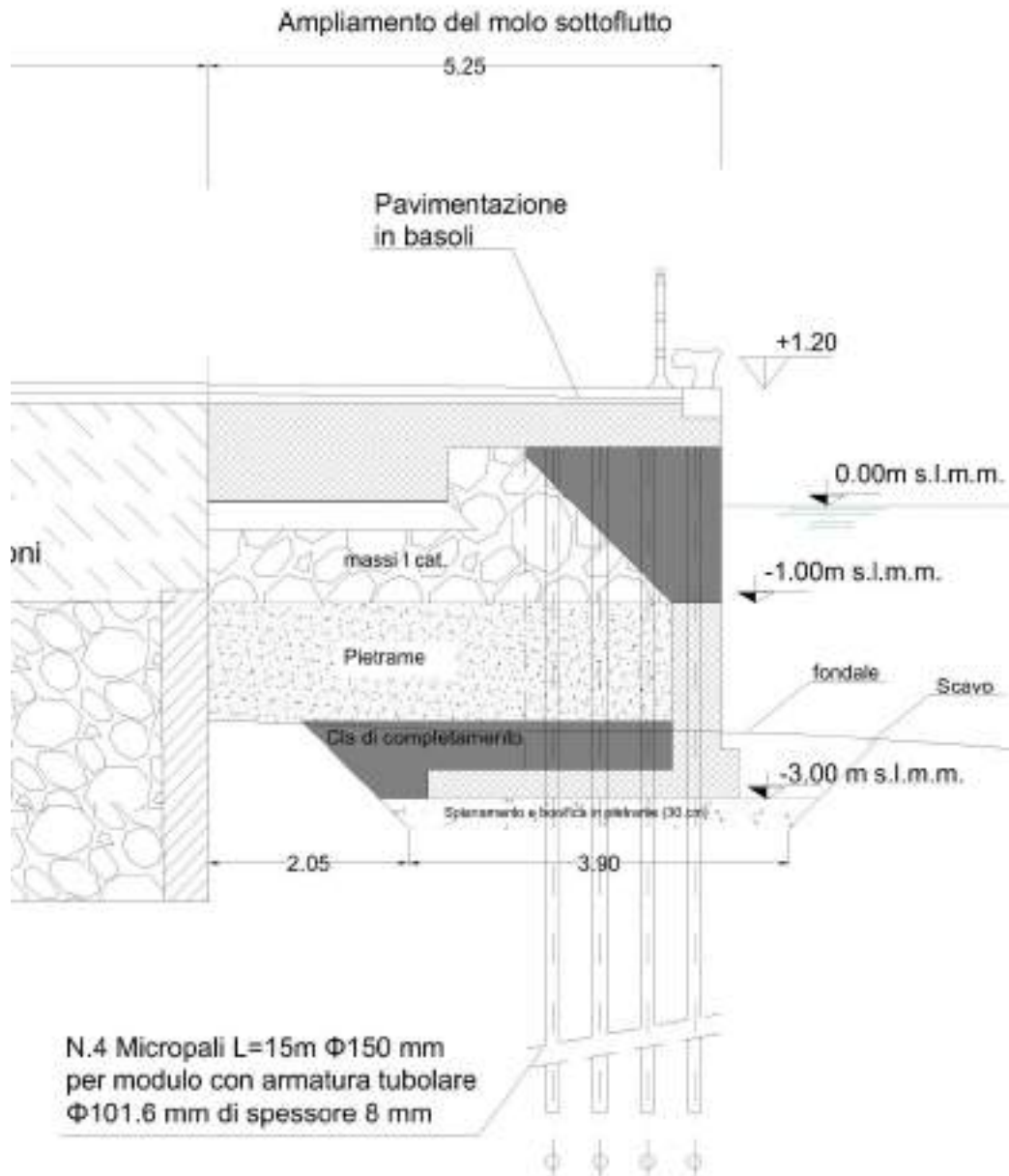


Fig. 7 - Sezione di progetto

3. METODO E CODICI DI CALCOLO

Come già esposto nella R.6.2 i moduli prefabbricati sono stati modellati con tre tipologie di muro in funzione delle tre profondità di posa previste in progetto e cioè:

- TIPOLOGIA 1, profondità di posa -3.0 m s.l.m.m.,
- TIPOLOGIA 2, profondità di posa -4.0 m s.l.m.m.,
- TIPOLOGIA 3, profondità di posa -4.5 m s.l.m.m.

La Tipologia 1 schematizza i moduli Tipo A che sono utilizzati per i primi 20m di ampliamento del molo, la Tipologia 2 i moduli Tipo B per i successivi 37.5m di ampliamento del molo e infine, la Tipologia 3 schematizza i moduli che sono utilizzati per la realizzazione dell'allungamento in testata.

Il software utilizzato per il dimensionamento e la verifica del muro è MAX versione 15.0, della Aztec Informatica, che effettua l'analisi ed il calcolo dei muri di sostegno nell'ambito geotecnico-strutturale, dialogando con le norme N.T.C. 2018 attraverso l'applicazione dei coefficienti parziali e di combinazione.

L'analisi viene eseguita per tutte le combinazioni di carico definite. Il calcolo delle sollecitazioni, nei casi di muri con contrafforti, viene effettuato considerando il paramento e/o la fondazione come una piastra ed analizzata con il metodo degli elementi finiti (FEM). Il calcolo delle armature e la verifica delle sezioni possono essere eseguiti con il metodo delle tensioni ammissibili o con il metodo degli stati limite. Nell'ambito della verifica agli stati limite il programma effettua sia la verifica allo stato limite ultimo (S.L.U.) sia la verifica allo stato limite di esercizio (S.L.E.). In particolare per quest'ultima verifica sono stati presi in considerazione lo stato limite di fessurazione e lo stato limite delle tensioni di esercizio.

TIPOLOGIA 1

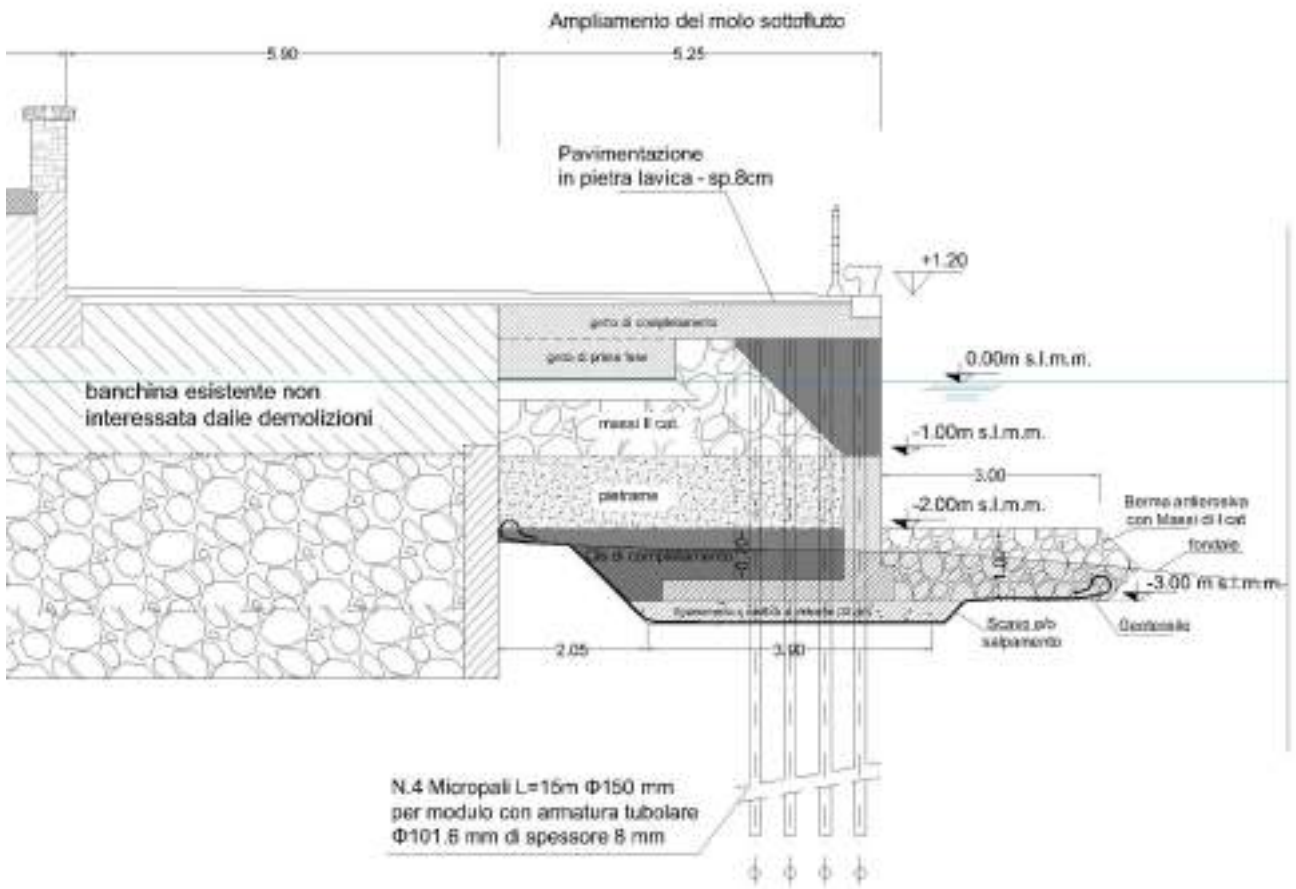


Figura 1- Sezione di progetto ampliamento molo di sottoflutto tipologia 1 con piano di posa -3m s.l.m.m. (Moduli A)

Dati

Materiali

Simbologia adottata

n°	Indice materiale
Descr	Descrizione del materiale
Calcestruzzo armato	
C	Classe di resistenza del cls
A	Classe di resistenza dell'acciaio
γ	Peso specifico, espresso in [kg/mc]
R_{ck}	Resistenza caratteristica a compressione, espressa in [kg/cm ²]
E	Modulo elastico, espresso in [kg/cm ²]
ν	Coeff. di Poisson
n	Coeff. di omogenizzazione acciaio/cls
ntc	Coeff. di omogenizzazione cls tesoro/compresso

Calcestruzzo armato

n°	Descr	C	A	γ	R_{ck}	E	ν	n	ntc
				[kg/mc]	[kg/cm ²]	[kg/cm ²]			
1	Cls Armato	Rck 250	B450C	2500.00	250.00	306659	0.30	15.00	0.50
2	Materiale tiranti	Rck 250	Precomp	2500.00	250.00	306659	0.30	15.00	0.50

Acciai

Descr	f_{yk}	f_{uk}
	[kg/cm ²]	[kg/cm ²]
B450C	4588.65	5506.38

Geometria profilo terreno a monte del muro

Simbologia adottata

(Sistema di riferimento con origine in testa al muro, ascissa X positiva verso monte, ordinata Y positiva verso l'alto)

n°	numero ordine del punto
X	ascissa del punto espressa in [m]
Y	ordinata del punto espressa in [m]
A	inclinazione del tratto espressa in [°]

n°	X [m]	Y [m]	A [°]
1	0.00	-1.60	0.000
2	1.60	0.00	45.000
3	25.00	0.00	0.000

Inclinazione terreno a valle del muro rispetto all'orizzontale 0.000 [°]

Falda

Simbologia adottata

(Sistema di riferimento con origine in testa al muro, ascissa X positiva verso monte, ordinata Y positiva verso l'alto)

n°	numero ordine del punto
X	ascissa del punto espressa in [m]
Y	ordinata del punto espressa in [m]
A	inclinazione del tratto espressa in [°]

n°	X [m]	Y [m]	A [°]
1	-25.00	-1.20	0.000
2	-0.50	-1.20	0.000
3	0.00	-1.20	0.000
4	15.00	-1.20	0.000
5	25.00	-1.20	0.000

Geometria muro

Geometria paramento e fondazione

Muro con cotrafforti

Lunghezza muro 5.00 [m]

Paramento

Materiale	Clis Armato	
Altezza paramento	3.70	[m]
Altezza paramento libero	3.70	[m]
Spessore in sommità	0.50	[m]
Spessore all'attacco con la fondazione	0.50	[m]
Inclinazione paramento esterno	0.00	[°]
Inclinazione paramento interno	0.00	[°]

Contrafforti

Prefabbricato		
Pendenza sezione	Singola	
Altezza	3.70	[m]
Spessore	0.40	[m]
Interasse	2.50	[m]
Larghezza in testa	1.50	[m]
Larghezza alla base	1.50	[m]
Larghezza modulo	2.50	[m]
Numero moduli	1	
Connessione Contrafforte-Paramento	Incastro	

Fondazione

Materiale	Clis Armato	
Lunghezza mensola di valle	0.20	[m]
Lunghezza mensola di monte	2.50	[m]
Lunghezza totale	3.20	[m]
Inclinazione piano di posa	0.00	[°]
Altezza valle esterna	0.50	[m]
Altezza valle interna	0.50	[m]
Altezza monte interna	0.80	[m]

Altezza monte esterna
Spessore magrone

0.80 [m]
0.00 [m]

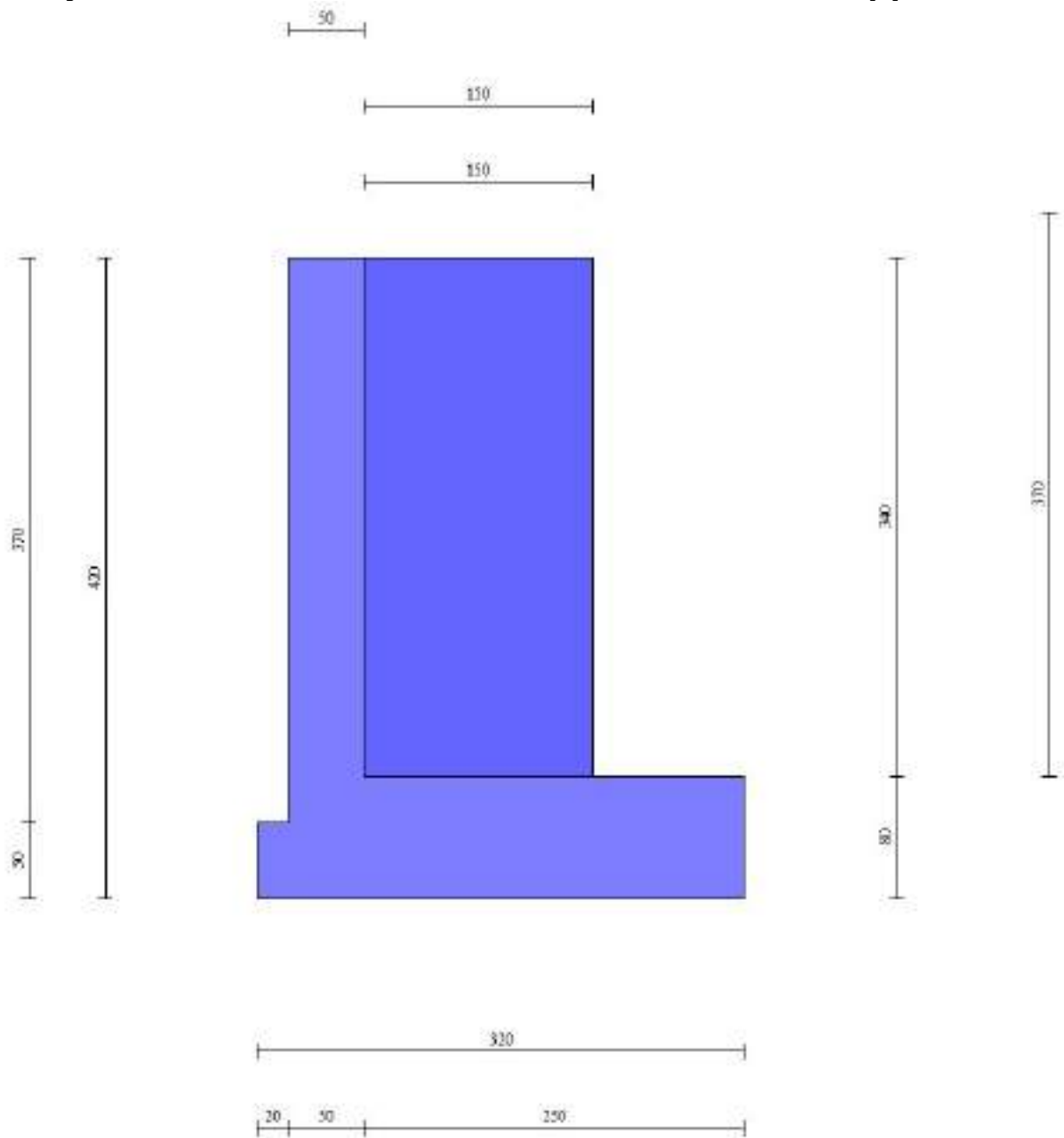


Fig. 1 - Sezione quotata del muro

Descrizione terreni

Parametri di resistenza

Simbologia adottata

n°	Indice del terreno
Descr	Descrizione terreno
γ	Peso di volume del terreno espresso in [kg/mc]
γ_s	Peso di volume saturo del terreno espresso in [kg/mc]
ϕ	Angolo d'attrito interno espresso in [°]
δ	Angolo d'attrito terra-muro espresso in [°]
c	Coesione espressa in [kg/cm ^q]
c_a	Adesione terra-muro espressa in [kg/cm ^q]
Per calcolo portanza con il metodo di Bustamante-Doix	
Cesp	Coeff. di espansione laterale (solo per il metodo di Bustamante-Doix)
τ_l	Tensione tangenziale limite, espressa in [kg/cm ^q]

n°	Descr	γ [kg/mc]	γ_{sat} [kg/mc]	ϕ [°]	δ [°]	c [kg/cm ^q]	c_a [kg/cm ^q]	Cesp	τ_l [kg/cm ^q]
----	-------	---------------------	---------------------------	---------------	-----------------	----------------------------	--------------------------------	------	-----------------------------------

Condizioni di carico

Simbologia adottata

Carichi verticali positivi verso il basso.

Carichi orizzontali positivi verso sinistra.

Momento positivo senso antiorario.

X	Ascissa del punto di applicazione del carico concentrato espressa in [m]
F _x	Componente orizzontale del carico concentrato espressa in [kg]
F _y	Componente verticale del carico concentrato espressa in [kg]
M	Momento espresso in [kgm]
X _i	Ascissa del punto iniziale del carico ripartito espressa in [m]
X _f	Ascissa del punto finale del carico ripartito espressa in [m]
Q _i	Intensità del carico per x=X _i espressa in [kg]
Q _f	Intensità del carico per x=X _f espressa in [kg]

Condizione n° 1 (Condizione 1) - PERMANENTE

Carichi sul muro

n°	Tipo	Dest	X; Y [m]	F _x [kg]	F _y [kg]	M [kgm]	X _i [m]	X _f [m]	Q _i [kg]	Q _f [kg]
1	Concentrato	Paramento	-0.25; 0.00	0.00	3000.00	2250.00				

Carichi sul terreno

n°	Tipo	X [m]	F _x [kg]	F _y [kg]	M [kgm]	X _i [m]	X _f [m]	Q _i [kg]	Q _f [kg]
1	Distribuito					1.50	4.75	1500.00	1500.00

Condizione n° 2 (Condizione 2) - PERMANENTE

Carichi sul terreno

n°	Tipo	X [m]	F _x [kg]	F _y [kg]	M [kgm]	X _i [m]	X _f [m]	Q _i [kg]	Q _f [kg]
1	Distribuito					4.75	10.65	1500.00	1500.00

Condizione n° 3 (Condizione 3) - PERMANENTE

Carichi sul terreno

n°	Tipo	X [m]	F _x [kg]	F _y [kg]	M [kgm]	X _i [m]	X _f [m]	Q _i [kg]	Q _f [kg]
1	Distribuito					10.75	20.00	3500.00	3500.00

Condizione n° 4 (Condizione 4) - VARIABILE

Coeff. di combinazione $\Psi_0=1.00 - \Psi_1=1.00 - \Psi_2=1.00$

Carichi sul terreno

n°	Tipo	X [m]	F _x [kg]	F _y [kg]	M [kgm]	X _i [m]	X _f [m]	Q _i [kg]	Q _f [kg]
1	Distribuito					0.00	10.75	500.00	500.00

Normativa

Normativa usata: **Norme Tecniche sulle Costruzioni 2018 (D.M. 17.01.2018) + Circolare C.S.LL.PP. 21/01/2019 n.7**

Coeff. parziali per le azioni o per l'effetto delle azioni

Carichi	Effetto		Combinazioni statiche				Combinazioni sismiche			
			HYD	UPL	EQU	A1	A2	EQU	A1	A2
Permanenti strutturali	Favorevoli	$\gamma_{G1, fav}$	1.00	0.90	1.00	1.00	1.00	1.00	1.00	1.00
Permanenti strutturali	Sfavorevoli	$\gamma_{G1, sfav}$	1.00	1.10	1.30	1.30	1.00	1.00	1.00	1.00
Permanenti non strutturali	Favorevoli	$\gamma_{G2, fav}$	0.00	0.80	0.80	0.80	0.80	0.00	0.00	0.00
Permanenti non strutturali	Sfavorevoli	$\gamma_{G2, sfav}$	1.00	1.50	1.50	1.50	1.30	1.00	1.00	1.00
Variabili	Favorevoli	$\gamma_{O, fav}$	0.00	0.00	0.00	0.00	0.00	0.00	0.00	0.00
Variabili	Sfavorevoli	$\gamma_{O, sfav}$	1.00	1.50	1.50	1.50	1.30	1.00	1.00	1.00
Variabili da traffico	Favorevoli	$\gamma_{OT, fav}$	0.00	0.00	0.00	0.00	0.00	0.00	0.00	0.00
Variabili da traffico	Sfavorevoli	$\gamma_{OT, sfav}$	1.00	1.50	1.35	1.35	1.15	1.00	1.00	1.00

Coeff. parziali per i parametri geotecnici del terreno

Parametro		Combinazioni statiche		Combinazioni sismiche	
		M1	M2	M1	M2
Tangente dell'angolo di attrito	$\gamma_{\tan(\phi)}$	1.00	1.25	1.00	1.00
Coesione efficace	γ_c	1.00	1.25	1.00	1.00
Resistenza non drenata	γ_{cu}	1.00	1.40	1.00	1.00
Peso nell'unità di volume	γ_y	1.00	1.00	1.00	1.00

Coeff. parziali γ_R per le verifiche agli stati limite ultimi STR e GEO

Verifica	Combinazioni statiche			Combinazioni sismiche		
	R1	R2	R3	R1	R2	R3
Capacità portante	--	--	1.40	--	--	1.20
Scorrimento	--	--	1.10	--	--	1.00
Resistenza terreno a valle	--	--	1.40	--	--	1.20
Ribaltamento	--	--	1.15	--	--	1.00
Stabilità fronte di scavo	--	1.10	--	--	1.20	--

Descrizione combinazioni di carico

Con riferimento alle azioni elementari prima determinate, si sono considerate le seguenti combinazioni di carico:

- Combinazione fondamentale, impiegata per gli stati limite ultimi (SLU):

$$\gamma_{G1} G_1 + \gamma_{G2} G_2 + \gamma_{Q1} Q_{k1} + \gamma_{Q2} Q_{k2} + \gamma_{Q3} Q_{k3} + \dots$$

- Combinazione caratteristica, cosiddetta rara, impiegata per gli stati limite di esercizio (SLE) irreversibili:

$$G_1 + G_2 + Q_{k1} + \Psi_{0,2} Q_{k2} + \Psi_{0,3} Q_{k3} + \dots$$

- Combinazione frequente, impiegata per gli stati limite di esercizio (SLE) reversibili:

$$G_1 + G_2 + \Psi_{1,1} Q_{k1} + \Psi_{2,2} Q_{k2} + \Psi_{2,3} Q_{k3} + \dots$$

- Combinazione quasi permanente, impiegata per gli effetti di lungo periodo:

$$G_1 + G_2 + \Psi_{2,1} Q_{k1} + \Psi_{2,2} Q_{k2} + \Psi_{2,3} Q_{k3} + \dots$$

- Combinazione sismica, impiegata per gli stati limite ultimi connessi all'azione sismica E:

$$E + G_1 + G_2 + \Psi_{2,1} Q_{k1} + \Psi_{2,2} Q_{k2} + \Psi_{2,3} Q_{k3} + \dots$$

I valori dei coeff. $\Psi_{0,j}$, $\Psi_{1,j}$, $\Psi_{2,j}$ sono definiti nelle singole condizioni variabili. Per i valori dei coeff. γ_G e γ_{Qr} sono definiti nella tabella normativa.

In particolare si sono considerate le seguenti combinazioni:

Simbologia adottata

γ Coefficiente di partecipazione della condizione
 Ψ Coefficiente di combinazione della condizione

Combinazione n° 1 - STR (A1-M1-R3)

Condizione	γ	Ψ	Effetto
Peso muro	1.00	--	Favorevole
Peso terrapieno	1.00	--	Favorevole
Spinta terreno	1.30	--	Sfavorevole
Condizione 1	1.30	--	Sfavorevole
Condizione 2	1.30	--	Sfavorevole
Condizione 3	1.30	--	Sfavorevole
Condizione 4	1.50	1.00	Sfavorevole

Combinazione n° 2 - STR (A1-M1-R3) H + V

Condizione	γ	Ψ	Effetto
Peso muro	1.00	--	Favorevole
Peso terrapieno	1.00	--	Favorevole
Spinta terreno	1.00	--	Sfavorevole
Condizione 1	1.00	--	Sfavorevole
Condizione 2	1.00	--	Sfavorevole
Condizione 3	1.00	--	Sfavorevole
Condizione 4	1.00	1.00	Sfavorevole

Combinazione n° 3 - STR (A1-M1-R3) H - V

Condizione	γ	Ψ	Effetto
Peso muro	1.00	--	Sfavorevole
Peso terrapieno	1.00	--	Sfavorevole
Spinta terreno	1.00	--	Sfavorevole
Condizione 1	1.00	--	Sfavorevole
Condizione 2	1.00	--	Sfavorevole
Condizione 3	1.00	--	Sfavorevole
Condizione 4	1.00	1.00	Sfavorevole

Combinazione n° 4 - STR (A1-M1-R3)

Condizione	γ	Ψ	Effetto
Peso muro	1.30	--	Sfavorevole

Condizione	γ	Ψ	Effetto
Peso terrapieno	1.30	--	Sfavorevole
Spinta terreno	1.30	--	Sfavorevole
Condizione 1	1.30	--	Sfavorevole
Condizione 2	1.30	--	Sfavorevole
Condizione 3	1.30	--	Sfavorevole
Condizione 4	1.50	1.00	Sfavorevole

Combinazione n° 5 - STR (A1-M1-R3)

Condizione	γ	Ψ	Effetto
Peso muro	1.00	--	Favorevole
Peso terrapieno	1.30	--	Sfavorevole
Spinta terreno	1.30	--	Sfavorevole
Condizione 1	1.30	--	Sfavorevole
Condizione 2	1.30	--	Sfavorevole
Condizione 3	1.30	--	Sfavorevole
Condizione 4	1.50	1.00	Sfavorevole

Combinazione n° 6 - STR (A1-M1-R3)

Condizione	γ	Ψ	Effetto
Peso muro	1.30	--	Sfavorevole
Peso terrapieno	1.00	--	Favorevole
Spinta terreno	1.30	--	Sfavorevole
Condizione 1	1.30	--	Sfavorevole
Condizione 2	1.30	--	Sfavorevole
Condizione 3	1.30	--	Sfavorevole
Condizione 4	1.50	1.00	Sfavorevole

Combinazione n° 7 - GEO (A2-M2-R2)

Condizione	γ	Ψ	Effetto
Peso muro	1.00	--	Sfavorevole
Peso terrapieno	1.00	--	Sfavorevole
Spinta terreno	1.00	--	Sfavorevole
Condizione 1	1.00	--	Sfavorevole
Condizione 2	1.00	--	Sfavorevole
Condizione 3	1.00	--	Sfavorevole
Condizione 4	1.30	1.00	Sfavorevole

Combinazione n° 8 - GEO (A2-M2-R2) H + V

Condizione	γ	Ψ	Effetto
Peso muro	1.00	--	Sfavorevole
Peso terrapieno	1.00	--	Sfavorevole
Spinta terreno	1.00	--	Sfavorevole
Condizione 1	1.00	--	Sfavorevole
Condizione 2	1.00	--	Sfavorevole
Condizione 3	1.00	--	Sfavorevole
Condizione 4	1.00	1.00	Sfavorevole

Combinazione n° 9 - GEO (A2-M2-R2) H - V

Condizione	γ	Ψ	Effetto
Peso muro	1.00	--	Sfavorevole
Peso terrapieno	1.00	--	Sfavorevole
Spinta terreno	1.00	--	Sfavorevole
Condizione 1	1.00	--	Sfavorevole
Condizione 2	1.00	--	Sfavorevole
Condizione 3	1.00	--	Sfavorevole
Condizione 4	1.00	1.00	Sfavorevole

Combinazione n° 10 - EQU (A1-M1-R3)

Condizione	γ	Ψ	Effetto
Peso muro	1.00	--	Favorevole
Peso terrapieno	1.00	--	Favorevole
Spinta terreno	1.30	--	Sfavorevole
Condizione 1	1.30	--	Sfavorevole
Condizione 2	1.30	--	Sfavorevole
Condizione 3	1.30	--	Sfavorevole
Condizione 4	1.50	1.00	Sfavorevole

Combinazione n° 11 - EQU (A1-M1-R3) H + V

Condizione	γ	Ψ	Effetto
Peso muro	1.00	--	Favorevole
Peso terrapieno	1.00	--	Favorevole
Spinta terreno	1.00	--	Sfavorevole
Condizione 1	1.00	--	Sfavorevole
Condizione 2	1.00	--	Sfavorevole
Condizione 3	1.00	--	Sfavorevole
Condizione 4	1.00	1.00	Sfavorevole

Combinazione n° 12 - EQU (A1-M1-R3) H - V

Condizione	γ	Ψ	Effetto
Peso muro	1.00	--	Favorevole
Peso terrapieno	1.00	--	Favorevole
Spinta terreno	1.00	--	Sfavorevole
Condizione 1	1.00	--	Sfavorevole
Condizione 2	1.00	--	Sfavorevole
Condizione 3	1.00	--	Sfavorevole
Condizione 4	1.00	1.00	Sfavorevole

Combinazione n° 13 - SLER

Condizione	γ	Ψ	Effetto
Peso muro	1.00	--	Sfavorevole
Peso terrapieno	1.00	--	Sfavorevole
Spinta terreno	1.00	--	Sfavorevole
Condizione 1	1.00	--	Sfavorevole
Condizione 2	1.00	--	Sfavorevole
Condizione 3	1.00	--	Sfavorevole
Condizione 4	1.00	1.00	Sfavorevole

Combinazione n° 14 - SLEF

Condizione	γ	Ψ	Effetto
Peso muro	1.00	--	Sfavorevole
Peso terrapieno	1.00	--	Sfavorevole
Spinta terreno	1.00	--	Sfavorevole
Condizione 1	1.00	--	Sfavorevole
Condizione 2	1.00	--	Sfavorevole
Condizione 3	1.00	--	Sfavorevole
Condizione 4	1.00	1.00	Sfavorevole

Combinazione n° 15 - SLEQ

Condizione	γ	Ψ	Effetto
Peso muro	1.00	--	Sfavorevole
Peso terrapieno	1.00	--	Sfavorevole
Spinta terreno	1.00	--	Sfavorevole
Condizione 1	1.00	--	Sfavorevole
Condizione 2	1.00	--	Sfavorevole
Condizione 3	1.00	--	Sfavorevole
Condizione 4	1.00	1.00	Sfavorevole

Combinazione n° 16 - SLEQ H + V

Condizione	γ	Ψ	Effetto
Peso muro	1.00	--	Sfavorevole
Peso terrapieno	1.00	--	Sfavorevole
Spinta terreno	1.00	--	Sfavorevole
Condizione 1	1.00	--	Sfavorevole
Condizione 2	1.00	--	Sfavorevole
Condizione 3	1.00	--	Sfavorevole
Condizione 4	1.00	1.00	Sfavorevole

Combinazione n° 17 - SLEQ H - V

Condizione	γ	Ψ	Effetto
Peso muro	1.00	--	Sfavorevole
Peso terrapieno	1.00	--	Sfavorevole
Spinta terreno	1.00	--	Sfavorevole
Condizione 1	1.00	--	Sfavorevole
Condizione 2	1.00	--	Sfavorevole
Condizione 3	1.00	--	Sfavorevole
Condizione 4	1.00	1.00	Sfavorevole

Dati sismici

Comune	Cetara
Provincia	Salerno
Regione	Campania
Latitudine	40.647666
Longitudine	14.700572
Indice punti di interpolazione	34095 - 34096 - 33874 - 33873
Vita nominale	50 anni
Classe d'uso	II
Tipo costruzione	Normali affollamenti
Vita di riferimento	50 anni

	Simbolo	U.M.	SLU	SLE
Accelerazione al suolo	a_g	[m/s ²]	0.963	0.450
Accelerazione al suolo	a_g/g	[%]	0.098	0.046
Massimo fattore amplificazione spettro orizzontale	F0		2.614	2.382
Periodo inizio tratto spettro a velocità costante	T _C *		0.437	0.324
Tipo di sottosuolo - Coefficiente stratigrafico	Ss		C	1.500

	Simbolo	U.M.	SLU	SLE
Categoria topografica - Coefficiente amplificazione topografica	St	T1	1.000	
Stato limite ...		Coef. di riduzione β_m	kh	kv
Ultimo		0.380	5.596	2.798
Ultimo - Ribaltamento		0.570	8.395	4.197
Esercizio		0.470	3.233	1.617

Forma diagramma incremento sismico **Rettangolare**

Opzioni di calcolo

Spinta

Metodo di calcolo della spinta	Culmann
Tipo di spinta	Spinta attiva
Terreno a bassa permeabilità	NO
Superficie di spinta limitata	NO

Capacità portante

Metodo di calcolo della portanza	Terzaghi
Criterio di media calcolo del terreno equivalente (terreni stratificati)	Ponderata
Criterio di riduzione per eccentricità della portanza	Meyerhof
Criterio di riduzione per rottura locale (punzonamento)	Nessuna
Larghezza fondazione nel terzo termine della formula del carico limite ($0.5B\gamma N_c$)	Larghezza ridotta (B')
Fattori di forma e inclinazione del carico	Fattori di inclinazione e fattori di forma
Se la fondazione ha larghezza superiore a 2.0 m viene applicato il fattore di riduzione per comportamento a piastra	

Stabilità globale

Metodo di calcolo della stabilità globale	Bishop
-------------------------------------------	--------

Altro

Partecipazione spinta passiva terreno antistante	50.00
Partecipazione resistenza passiva dente di fondazione	50.00
Componente verticale della spinta nel calcolo delle sollecitazioni	NO
Considera terreno sulla fondazione di valle	NO
Considera spinta e peso acqua fondazione di valle	SI

Spostamenti

Non è stato richiesto il calcolo degli spostamenti

Cedimenti

Non è stato richiesto il calcolo dei cedimenti

Specifiche per le verifiche nelle combinazioni allo Stato Limite Ultimo (SLU)

	SLU	Eccezionale
Coefficiente di sicurezza calcestruzzo a compressione	1.50	1.00
Coefficiente di sicurezza acciaio	1.15	1.00
Fattore di riduzione da resistenza cubica a cilindrica	0.83	0.83
Fattore di riduzione per carichi di lungo periodo	0.85	0.85
Coefficiente di sicurezza per la sezione	1.00	1.00

Specifiche per le verifiche nelle combinazioni allo Stato Limite di Esercizio (SLE)

Paramento e fondazione muro

Verifiche strutturali nelle combinazioni SLD SI

Condizioni ambientali	Ordinarie
Armatura ad aderenza migliorata	SI

Verifica a fessurazione

Sensibilità armatura	Poco sensibile
Metodo di calcolo aperture delle fessure	NTC 2018 - CIRCOLARE 21 gennaio 2019, n. 7 C.S.LL.PP.

Valori limite aperture delle fessure:

$$w_1=0.20$$

$$w_2=0.30$$

$$w_3=0.40$$

Verifica delle tensioni

Valori limite delle tensioni nei materiali:

Combinazione	Calcestruzzo	Acciaio
Rara	$0.60 f_{ck}$	$0.80 f_{yk}$
Frequente	$1.00 f_{ck}$	$1.00 f_{yk}$
Quasi permanente	$0.45 f_{ck}$	$1.00 f_{yk}$

Risultati

Verifiche strutturali

Verifiche a flessione

Elementi calcolati a trave

Simbologia adottata

n°	indice sezione
Y	ordinata sezione espressa in [m]
B	larghezza sezione espressa in [cm]
H	altezza sezione espressa in [cm]
Afi	area ferri inferiori espressa in [cmq]
Afs	area ferri superiori espressa in [cmq]
M	momento agente espressa in [kgm]
N	sforzo normale agente espressa in [kg]
Mu	momento ultimi espresso in [kgm]
Nu	sforzo normale ultimo espressa in [kg]
FS	fattore di sicurezza (rapporto tra sollecitazione ultima e sollecitazione agente)

Oggetto	Is	B [cm]	H [cm]	Afi [cmq]	Afs [cmq]	M [kgm]	N [kg]	Mu [kgm]	Nu [kg]	FS
Fondazione	4	100	80	16.08	16.08	-11045	0	-46903	0	4.246
Contrafforte	35	40	200	30.16	58.31	10324	30193	614099	1795883	59.481

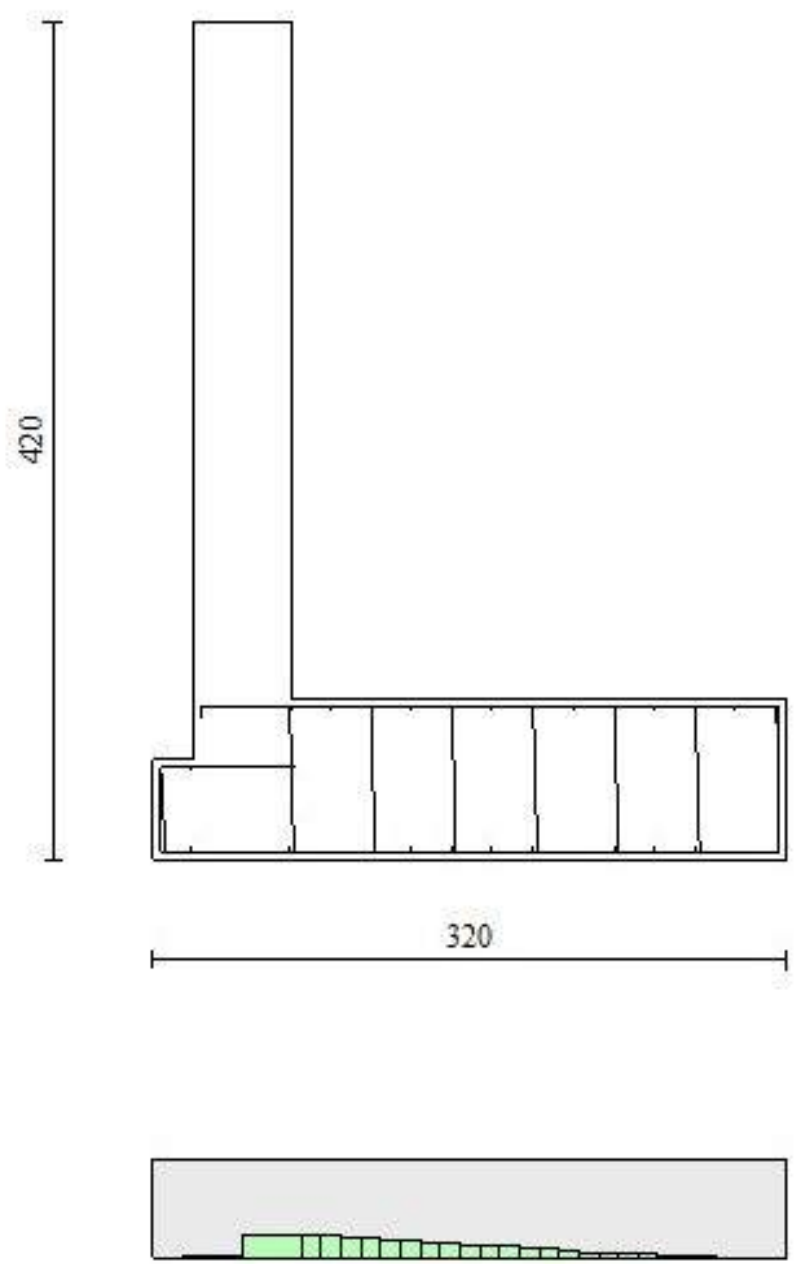


Fig. 3 - Paramento (Inviluppo)

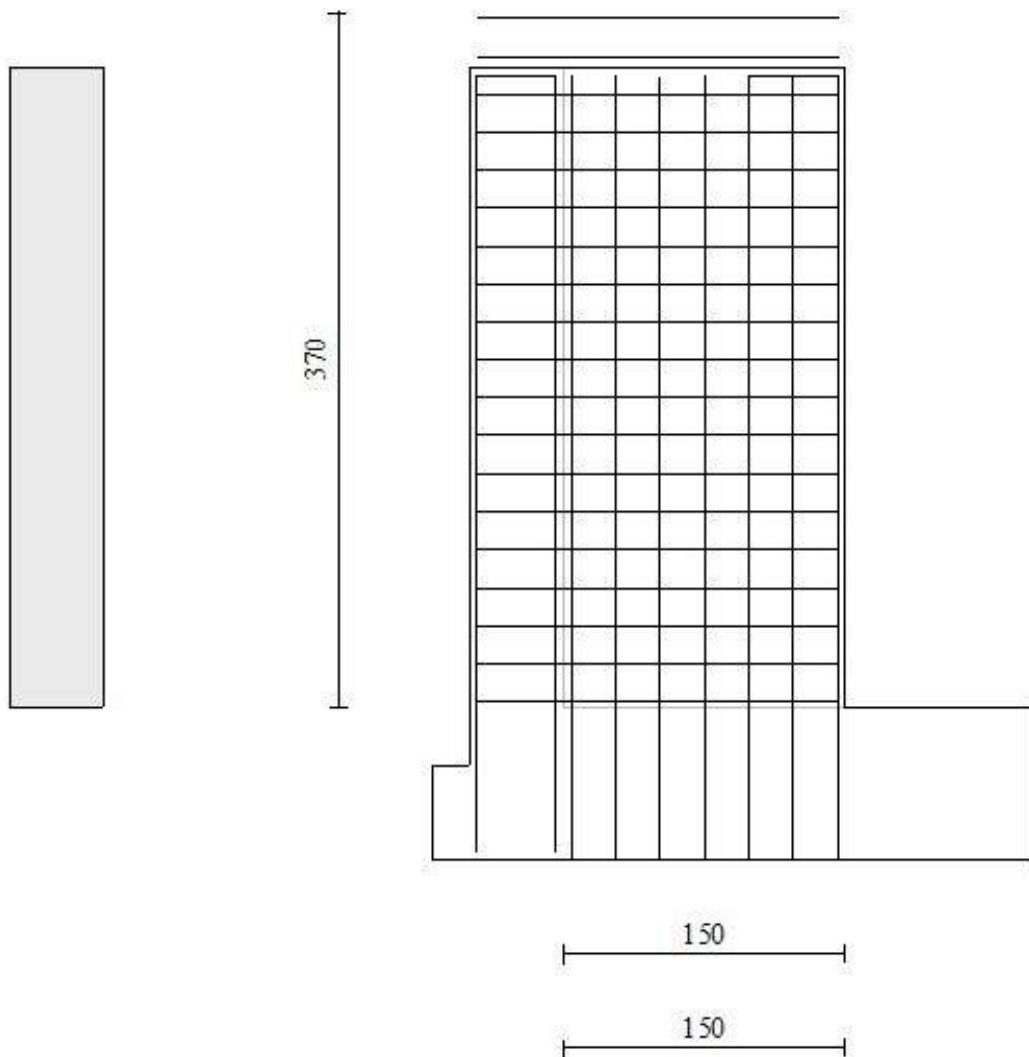


Fig. 4 - Contrafforte (Inviluppo)

Verifiche a taglio

Simbologia adottata

Is	indice sezione
Y	ordinata sezione espressa in [m]
B	larghezza sezione espressa in [cm]
H	altezza sezione espressa in [cm]
A_{sw}	area ferri a taglio espressa in [cm ²]
cot θ	inclinazione delle bielle compresse, θ inclinazione dei puntoni di calcestruzzo
V_{Rcd}	resistenza di progetto a 'taglio compressione' espressa in [kg]
V_{Rsd}	resistenza di progetto a 'taglio trazione' espressa in [kg]
V_{Rd}	resistenza di progetto a taglio espressa in [kg]. Per elementi con armature trasversali resistenti al taglio ($A_{sw}>0.0$) $V_{Rd}=\min(V_{Rcd}, V_{Rsd})$.
T	taglio agente espressa in [kg]
FS	fattore di sicurezza (rapporto tra sollecitazione resistente e sollecitazione agente)

Oggetto	Is	B [cm]	H [cm]	A_{sw} [cm ²]	cot θ	V_{Rcd} [kg]	V_{Rsd} [kg]	V_{Rd} [kg]	T [kg]	FS
Fondazione	16	100	80	0.00		0	0	29240	-6317	4.629
Contrafforte	35	40	200	0.00	2.500	147413	2381272	147413	4713	31.281

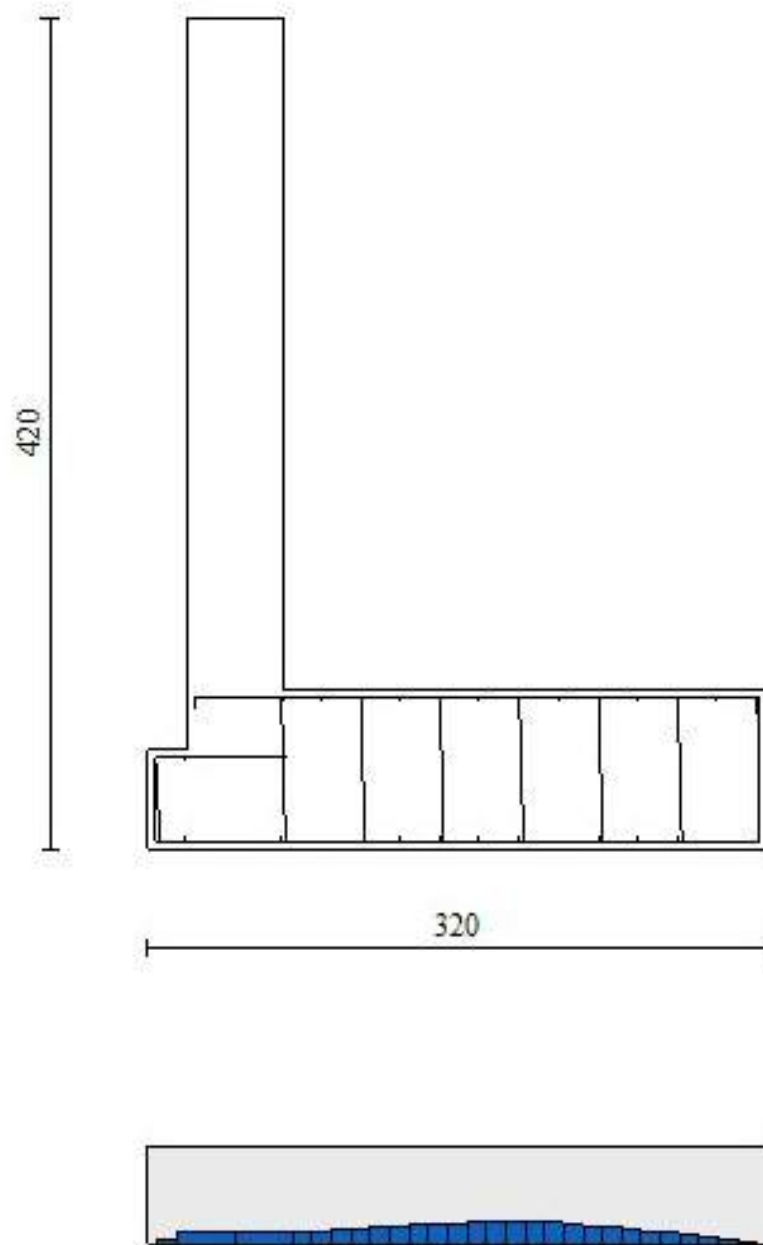


Fig. 5 - Paramento (Inviluppo)

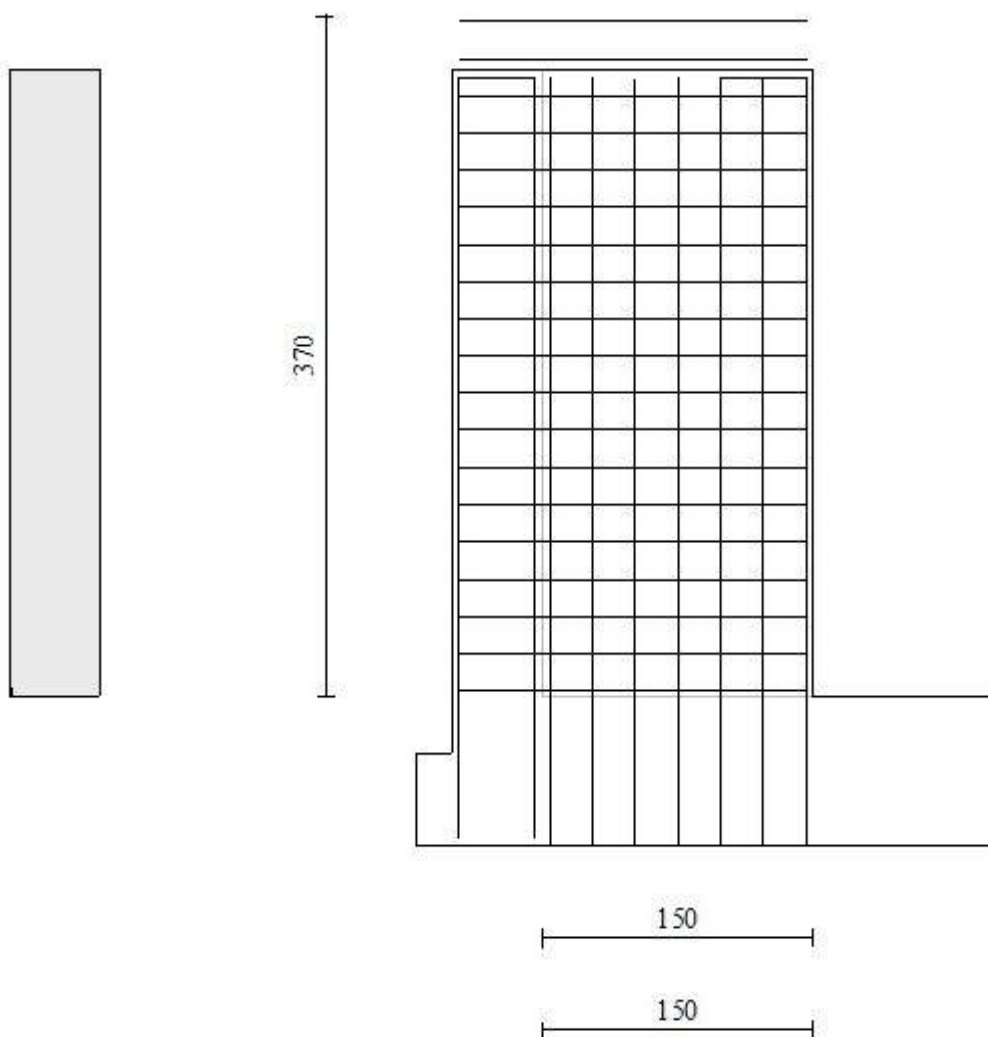


Fig. 6 - Contrafforte (Inviluppo)

Verifica delle tensioni

Simbologia adottata

n°	indice sezione
Y	ordinata sezione, espressa in [m]
B	larghezza sezione, espresso in [cm]
H	altezza sezione, espressa in [cm]
A_{fi}	area ferri inferiori, espresso in [cmq]
A_{fs}	area ferri superiori, espressa in [cmq]
M	momento agente, espressa in [kgm]
N	sforzo normale agente, espressa in [kg]
σ_c	tensione di compressione nel cls, espressa in [kg/cm ²]
σ_{fi}	tensione nei ferri inferiori, espressa in [kg/cm ²]
σ_{fs}	tensione nei ferri superiori, espressa in [kg/cm ²]

Combinazioni SLER

Oggetto	Is	B [cm]	H [cm]	A_{fi} [cmq]	A_{fs} [cmq]	σ_c [kg/cm ²]	$\sigma_{c,lim}$ [kg/cm ²]	σ_{fi} [kg/cm ²]	σ_{fs} [kg/cm ²]	$\sigma_{r,lim}$ [kg/cm ²]
Fondazione	4	100	80	16.08	16.08	3.50	124.50	39.57	207.25	3670.92
Contrafforte	35	40	200	30.16	58.31	2.00	124.50	11.17	28.99	3670.92
Contrafforte	1	40	200	30.16	58.31	1.06	124.50	27.77	14.77	3670.92

Combinazioni SLEF

Oggetto	Is	B [cm]	H [cm]	Afi [cmq]	Afs [cmq]	σ_c [kg/cmq]	$\sigma_{c,lim}$ [kg/cmq]	σ_{fi} [kg/cmq]	σ_{fs} [kg/cmq]	$\sigma_{f,lim}$ [kg/cmq]
Fondazione	4	100	80	16.08	16.08	3.50	207.50	39.57	207.25	4588.65
Fondazione	1	100	50	16.08	16.08	0.00	207.50	0.00	0.00	4588.65
Contrafforte	35	40	200	30.16	58.31	2.00	207.50	11.17	28.99	4588.65
Contrafforte	1	40	200	30.16	58.31	1.06	207.50	27.77	14.77	4588.65

Combinazioni SLEQ

Oggetto	Is	B [cm]	H [cm]	Afi [cmq]	Afs [cmq]	σ_c [kg/cmq]	$\sigma_{c,lim}$ [kg/cmq]	σ_{fi} [kg/cmq]	σ_{fs} [kg/cmq]	$\sigma_{f,lim}$ [kg/cmq]
Fondazione	4	100	80	16.08	16.08	7.44	93.38	84.09	440.46	4588.65
Contrafforte	35	40	200	30.16	58.31	2.24	93.38	21.73	32.17	4588.65
Contrafforte	1	40	200	30.16	58.31	1.05	93.38	28.12	14.69	4588.65

Verifica a fessurazione

Simbologia adottata

n°	indice sezione
Y	ordinata sezione espressa in [m]
B	larghezza sezione espresso in [cm]
H	altezza sezione espressa in [cm]
Af	area ferri zona tesa espresso in [cmq]
Aeff	area efficace espressa in [cmq]
M	momento agente espressa in [kgm]
Mpf	momento di prima fessurazione espressa in [kgm]
ε	deformazione espresso in %
Sm	spaziatura tra le fessure espressa in [mm]
w	apertura delle fessure espressa in [mm]

Combinazioni SLEF

Oggetto	Is	B [cm]	H [cm]	Af [cmq]	Aeff [cmq]	M [kgm]	Mpf [kgm]	ε [%]	Sm [mm]	w [mm]	w _{lim} [mm]
Fondazione	4	100	80	16.08	950.00	-2378	-27926	0.000000	0	0.000	0.400
Contrafforte	35	40	200	58.31	380.00	7850	124343	0.000000	0	0.000	0.400

Combinazioni SLEQ

Oggetto	Is	B [cm]	H [cm]	Af [cmq]	Aeff [cmq]	M [kgm]	Mpf [kgm]	ε [%]	Sm [mm]	w [mm]	w _{lim} [mm]
Fondazione	4	100	80	16.08	950.00	-5053	-27926	0.000000	0	0.000	0.300
Contrafforte	35	40	200	58.31	380.00	9626	124407	0.000000	0	0.000	0.300

TIPOLOGIA 2

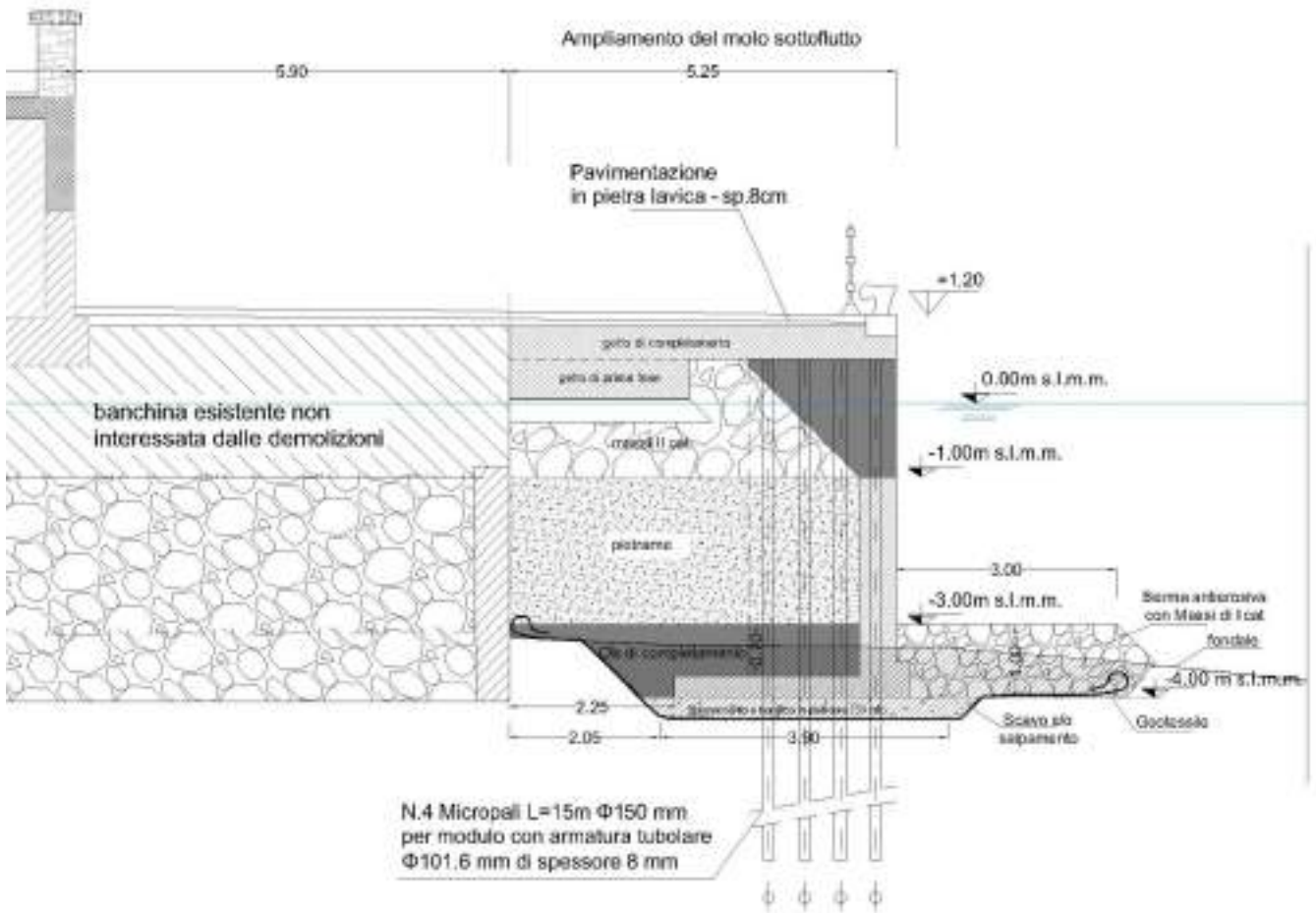


Figura 2- Sezione di progetto ampliamento sottoflutto tipologia 2 con piano di posa -4m s.l.m.m (Moduli B)

Dati

Materiali

Simbologia adottata

n°	Indice materiale
Descr	Descrizione del materiale
<u>Calcestruzzo armato</u>	
C	Classe di resistenza del cls
A	Classe di resistenza dell'acciaio
γ	Peso specifico, espresso in [kg/mc]
R_{ck}	Resistenza caratteristica a compressione, espressa in [kg/cm ²]
E	Modulo elastico, espresso in [kg/cm ²]
ν	Coeff. di Poisson
n	Coeff. di omogenizzazione acciaio/cls
ntc	Coeff. di omogenizzazione cls tesoro/compresso

Calcestruzzo armato

n°	Descr	C	A	γ	R_{ck}	E	ν	n	ntc
				[kg/mc]	[kg/cm ²]	[kg/cm ²]			
1	Cls Armato	Rck 250	B450C	2500.00	250.00	306659	0.30	15.00	0.50
2	Materiale tiranti	Rck 250	Precomp	2500.00	250.00	306659	0.30	15.00	0.50

Acciai

Descr	f_{yk}	f_{uk}
-------	----------	----------

	[kg/cmq]	[kg/cmq]
B450C	4588.65	5506.38

Geometria profilo terreno a monte del muro

Simbologia adottata

(Sistema di riferimento con origine in testa al muro, ascissa X positiva verso monte, ordinata Y positiva verso l'alto)

n°	numero ordine del punto
X	ascissa del punto espressa in [m]
Y	ordinata del punto espressa in [m]
A	inclinazione del tratto espressa in [°]

n°	X [m]	Y [m]	A [°]
1	0.00	-1.60	0.000
2	1.60	0.00	45.000
3	25.00	0.00	0.000

Inclinazione terreno a valle del muro rispetto all'orizzontale 0.000 [°]

Falda

Simbologia adottata

(Sistema di riferimento con origine in testa al muro, ascissa X positiva verso monte, ordinata Y positiva verso l'alto)

n°	numero ordine del punto
X	ascissa del punto espressa in [m]
Y	ordinata del punto espressa in [m]
A	inclinazione del tratto espressa in [°]

n°	X [m]	Y [m]	A [°]
1	-25.00	-1.20	0.000
2	-0.50	-1.20	0.000
3	0.00	-1.20	0.000
4	15.00	-1.20	0.000
5	25.00	-1.20	0.000

Geometria muro

Geometria paramento e fondazione

Muro con cotrafforti

Lunghezza muro 5.00 [m]

Paramento

Materiale	Clas Armato	
Altezza paramento	4.70	[m]
Altezza paramento libero	4.70	[m]
Spessore in sommità	0.50	[m]
Spessore all'attacco con la fondazione	0.50	[m]
Inclinazione paramento esterno	0.00	[°]
Inclinazione paramento interno	0.00	[°]

Contrafforti

Prefabbricato		
Pendenza sezione	Singola	
Altezza	4.70	[m]
Spessore	0.40	[m]
Interasse	2.50	[m]
Larghezza in testa	1.50	[m]
Larghezza alla base	1.50	[m]
Larghezza modulo	2.50	[m]
Numero moduli	1	
Connessione Contrafforte-Paramento	Incastro	

Fondazione

Materiale	Clas Armato	
Lunghezza mensola di valle	0.20	[m]
Lunghezza mensola di monte	2.50	[m]
Lunghezza totale	3.20	[m]
Inclinazione piano di posa	0.00	[°]
Altezza valle esterna	0.50	[m]
Altezza valle interna	0.50	[m]

Altezza monte interna	0.80	[m]
Altezza monte esterna	0.80	[m]
Spessore magrone	0.00	[m]

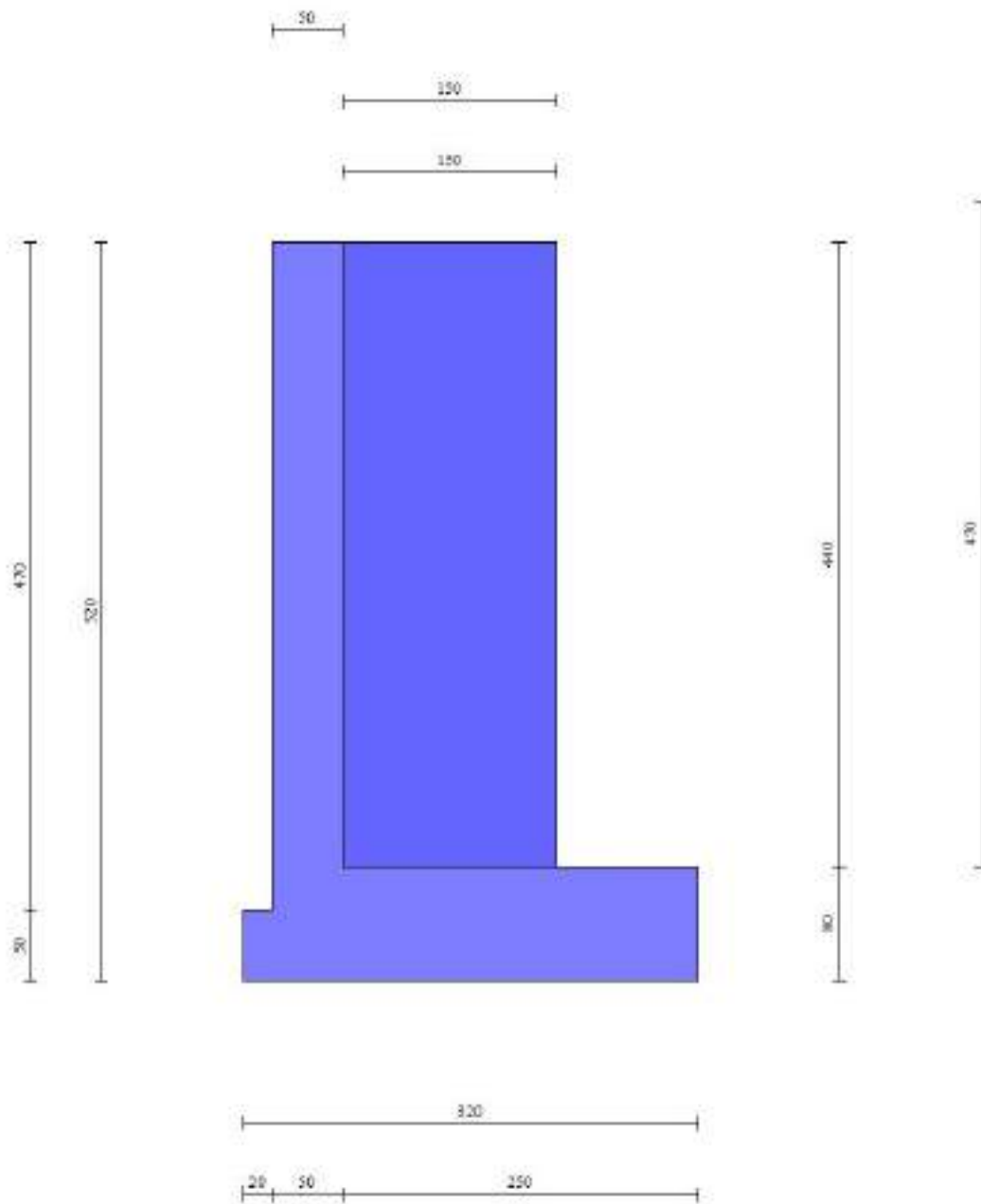


Fig. 1 - Sezione quotata del muro

Descrizione terreni

Parametri di resistenza

Simbologia adottata

n°	Indice del terreno
Descr	Descrizione terreno
γ	Peso di volume del terreno espresso in [kg/mc]
γ_s	Peso di volume saturo del terreno espresso in [kg/mc]
ϕ	Angolo d'attrito interno espresso in [°]
δ	Angolo d'attrito terra-muro espresso in [°]
c	Coesione espressa in [kg/cm ²]
c_a	Adesione terra-muro espressa in [kg/cm ²]

Per calcolo portanza con il metodo di Bustamante-Doix

Cesp Coeff. di espansione laterale (solo per il metodo di Bustamante-Doix)
 τ_l Tensione tangenziale limite, espressa in [kg/cmq]

n°	Descr	γ [kg/mc]	γ_{sat} [kg/mc]	ϕ [°]	δ [°]	c [kg/cm ^q]	ca [kg/cm ^q]	Cesp	τ_l [kg/cm ^q]
1	Sabbia grigiastra	1800.00	2000.00	30.000	20.000	0.00	0.00	---	---
2	Pietrame scavo	2100.00	2350.00	45.000	30.000	0.00	0.00	---	---
3	Massi Calcarei	1800.00	2100.00	40.000	26.670	0.00	0.00	---	---
4	Sabbia grigio nerastra	1800.00	2000.00	22.000	14.670	0.00	0.00	---	---
5	Clasti calcarei	1800.00	2000.00	30.000	20.000	0.00	0.00	---	---

Stratigrafia

Simbologia adottata

n° Indice dello strato
H Spessore dello strato espresso in [m]
 α Inclinazione espressa in [°]
Terreno Terreno dello strato
Per calcolo pali (solo se presenti)
Kw Costante di Winkler orizzontale espressa in Kg/cm²/cm
Ks Coefficiente di spinta
Cesp Coefficiente di espansione laterale (per tutti i metodi tranne il metodo di Bustamante-Doix)

Per calcolo della spinta con coeff. di spinta definiti (usati solo se attiva l'opzione 'Usa coeff. di spinta da strato')

Kst_{sta}, Kst_{sis} Coeff. di spinta statico e sismico

n°	H [m]	α [°]	Terreno	Kw [Kg/cm ²]	Ks	Cesp	Kst _{sta}	Kst _{sis}
1	8.00	0.000	Massi Calcarei	---	---	---	---	---
2	2.50	0.000	Sabbia grigiastra	---	---	---	---	---
3	8.00	0.000	Sabbia grigio nerastra	---	---	---	---	---
4	8.00	0.000	Clasti calcarei	---	---	---	---	---

Terreno di riempimento: Pietrame scavo
Inclinazione riempimento (rispetto alla verticale): 45.00 [°]

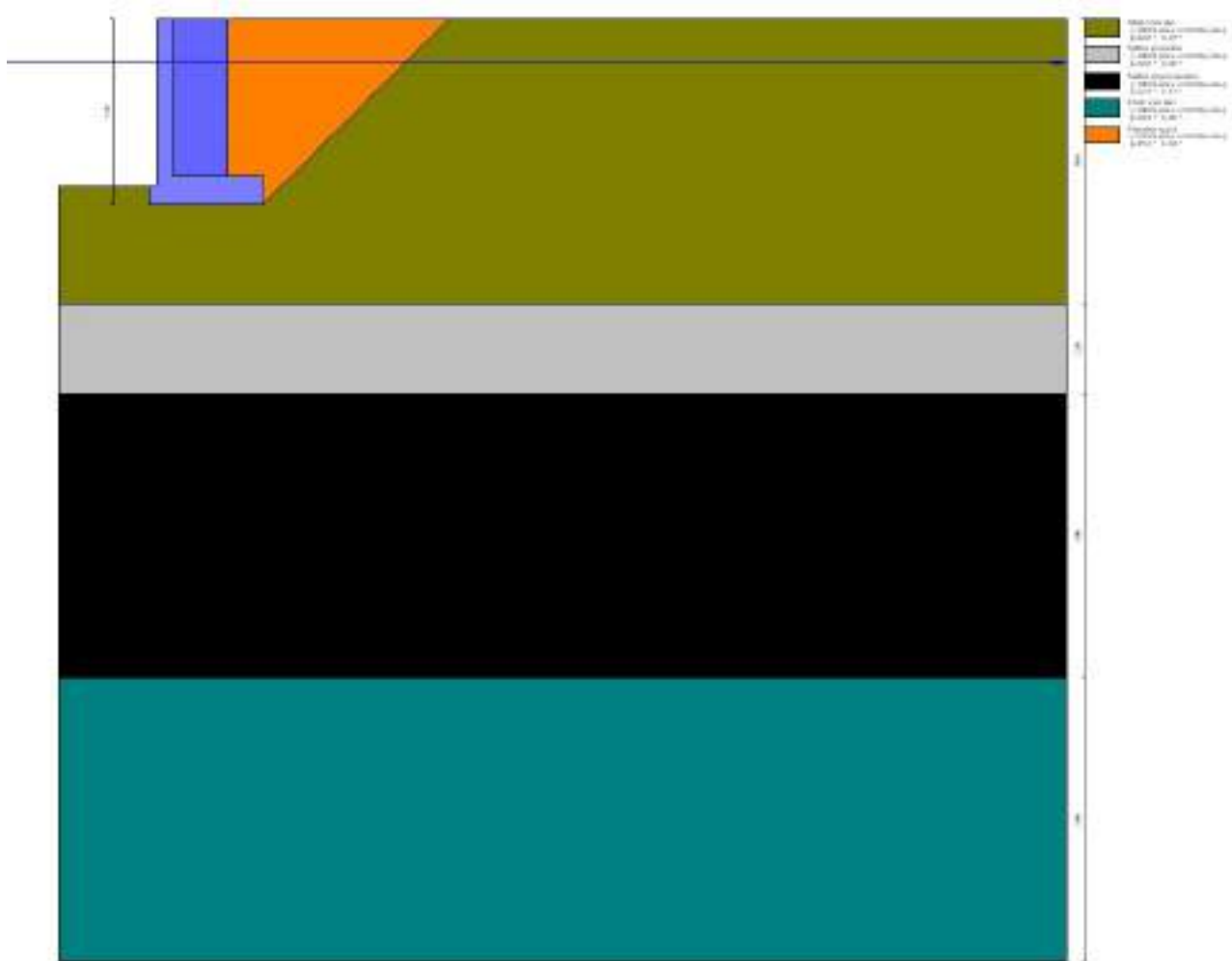


Fig. 2 - Stratigrafia

Condizioni di carico

Simbologia adottata

Carichi verticali positivi verso il basso.

Carichi orizzontali positivi verso sinistra.

Momento positivo senso antiorario.

X	Ascissa del punto di applicazione del carico concentrato espressa in [m]
F _x	Componente orizzontale del carico concentrato espressa in [kg]
F _y	Componente verticale del carico concentrato espressa in [kg]
M	Momento espresso in [kgm]
X _i	Ascissa del punto iniziale del carico ripartito espressa in [m]
X _f	Ascissa del punto finale del carico ripartito espressa in [m]
Q _i	Intensità del carico per x=X _i espressa in [kg]
Q _f	Intensità del carico per x=X _f espressa in [kg]

Condizione n° 1 (Condizione 1) - PERMANENTE

Carichi sul muro

n°	Tipo	Dest	X; Y [m]	F _x [kg]	F _y [kg]	M [kgm]	X _i [m]	X _f [m]	Q _i [kg]	Q _f [kg]
1	Concentrato	Paramento	-0.25; 0.00	0.00	3000.00	2250.00				

Carichi sul terreno

n°	Tipo	X [m]	F _x [kg]	F _y [kg]	M [kgm]	X _i [m]	X _f [m]	Q _i [kg]	Q _f [kg]
1	Distribuito					1.50	4.75	1500.00	1500.00

Condizione n° 2 (Condizione 2) - PERMANENTE

Carichi sul terreno

n°	Tipo	X [m]	Fx [kg]	Fy [kg]	M [kgm]	Xi [m]	Xf [m]	Qi [kg]	Qf [kg]
1	Distribuito					4.75	10.65	1500.00	1500.00

Condizione n° 3 (Condizione 4) - VARIABILE

Coeff. di combinazione $\Psi_0=1.00 - \Psi_1=1.00 - \Psi_2=1.00$

Carichi sul terreno

n°	Tipo	X [m]	Fx [kg]	Fy [kg]	M [kgm]	Xi [m]	Xf [m]	Qi [kg]	Qf [kg]
1	Distribuito					0.00	10.75	500.00	500.00

Condizione n° 4 (Condizione 4) - PERMANENTE

Carichi sul terreno

n°	Tipo	X [m]	Fx [kg]	Fy [kg]	M [kgm]	Xi [m]	Xf [m]	Qi [kg]	Qf [kg]
1	Distribuito					10.75	20.00	3500.00	3500.00

Normativa

Normativa usata: **Norme Tecniche sulle Costruzioni 2018 (D.M. 17.01.2018) + Circolare C.S.LL.PP. 21/01/2019 n.7**

Coeff. parziali per le azioni o per l'effetto delle azioni

Carichi	Effetto		Combinazioni statiche					Combinazioni sismiche		
			HYD	UPL	EQU	A1	A2	EQU	A1	A2
Permanenti strutturali	Favorevoli	$\gamma_{G1, fav}$	1.00	0.90	1.00	1.00	1.00	1.00	1.00	1.00
Permanenti strutturali	Sfavorevoli	$\gamma_{G1, sfav}$	1.00	1.10	1.30	1.30	1.00	1.00	1.00	1.00
Permanenti non strutturali	Favorevoli	$\gamma_{G2, fav}$	0.00	0.80	0.80	0.80	0.80	0.00	0.00	0.00
Permanenti non strutturali	Sfavorevoli	$\gamma_{G2, sfav}$	1.00	1.50	1.50	1.50	1.30	1.00	1.00	1.00
Variabili	Favorevoli	$\gamma_{O, fav}$	0.00	0.00	0.00	0.00	0.00	0.00	0.00	0.00
Variabili	Sfavorevoli	$\gamma_{O, sfav}$	1.00	1.50	1.50	1.50	1.30	1.00	1.00	1.00
Variabili da traffico	Favorevoli	$\gamma_{OT, fav}$	0.00	0.00	0.00	0.00	0.00	0.00	0.00	0.00
Variabili da traffico	Sfavorevoli	$\gamma_{OT, sfav}$	1.00	1.50	1.35	1.35	1.15	1.00	1.00	1.00

Coeff. parziali per i parametri geotecnici del terreno

Parametro		Combinazioni statiche		Combinazioni sismiche	
		M1	M2	M1	M2
Tangente dell'angolo di attrito	$\gamma_{\tan(\phi)}$	1.00	1.25	1.00	1.00
Coesione efficace	γ_c	1.00	1.25	1.00	1.00
Resistenza non drenata	γ_{cu}	1.00	1.40	1.00	1.00
Peso nell'unità di volume	γ_y	1.00	1.00	1.00	1.00

Coeff. parziali γ_R per le verifiche agli stati limite ultimi STR e GEO

Verifica	Combinazioni statiche			Combinazioni sismiche		
	R1	R2	R3	R1	R2	R3
Capacità portante	--	--	1.40	--	--	1.20
Scorrimento	--	--	1.10	--	--	1.00
Resistenza terreno a valle	--	--	1.40	--	--	1.20
Ribaltamento	--	--	1.15	--	--	1.00
Stabilità fronte di scavo	--	1.10	--	--	1.20	--

Descrizione combinazioni di carico

Con riferimento alle azioni elementari prima determinate, si sono considerate le seguenti combinazioni di carico:

- Combinazione fondamentale, impiegata per gli stati limite ultimi (SLU):

$$\gamma_{G1} G_1 + \gamma_{G2} G_2 + \gamma_{Q1} Q_{k1} + \gamma_{Q2} Q_{k2} + \gamma_{Q3} Q_{k3} + \dots$$

- Combinazione caratteristica, cosiddetta rara, impiegata per gli stati limite di esercizio (SLE) irreversibili:

$$G_1 + G_2 + Q_{k1} + \Psi_{0,2} Q_{k2} + \Psi_{0,3} Q_{k3} + \dots$$

- Combinazione frequente, impiegata per gli stati limite di esercizio (SLE) reversibili:

$$G_1 + G_2 + \Psi_{1,1} Q_{k1} + \Psi_{2,2} Q_{k2} + \Psi_{2,3} Q_{k3} + \dots$$

- Combinazione quasi permanente, impiegata per gli effetti di lungo periodo:

$$G_1 + G_2 + \Psi_{2,1} Q_{k1} + \Psi_{2,2} Q_{k2} + \Psi_{2,3} Q_{k3} + \dots$$

- Combinazione sismica, impiegata per gli stati limite ultimi connessi all'azione sismica E:

$$E + G_1 + G_2 + \Psi_{2,1} Q_{k1} + \Psi_{2,2} Q_{k2} + \Psi_{2,3} Q_{k3} + \dots$$

I valori dei coeff. $\Psi_{0,j}$, $\Psi_{1,j}$, $\Psi_{2,j}$ sono definiti nelle singole condizioni variabili. per I valori dei coeff. γ_G e γ_Q , sono definiti nella tabella normativa.

In particolare si sono considerate le seguenti combinazioni:

Simbologia adottata

γ Coefficiente di partecipazione della condizione
 Ψ Coefficiente di combinazione della condizione

Combinazione n° 1 - STR (A1-M1-R3)

Condizione	γ	Ψ	Effetto
Peso muro	1.00	--	Favorevole
Peso terrapieno	1.00	--	Favorevole
Spinta terreno	1.30	--	Sfavorevole
Condizione 1	1.30	--	Sfavorevole
Condizione 2	1.30	--	Sfavorevole
Condizione 4	1.30	--	Sfavorevole
Condizione 4	1.50	1.00	Sfavorevole

Combinazione n° 2 - STR (A1-M1-R3) H + V

Condizione	γ	Ψ	Effetto
Peso muro	1.00	--	Favorevole
Peso terrapieno	1.00	--	Favorevole
Spinta terreno	1.00	--	Sfavorevole
Condizione 1	1.00	--	Sfavorevole
Condizione 2	1.00	--	Sfavorevole
Condizione 4	1.00	1.00	Sfavorevole
Condizione 4	1.00	--	Sfavorevole

Combinazione n° 3 - STR (A1-M1-R3) H - V

Condizione	γ	Ψ	Effetto
Peso muro	1.00	--	Sfavorevole
Peso terrapieno	1.00	--	Sfavorevole
Spinta terreno	1.00	--	Sfavorevole
Condizione 1	1.00	--	Sfavorevole
Condizione 2	1.00	--	Sfavorevole
Condizione 4	1.00	1.00	Sfavorevole
Condizione 4	1.00	--	Sfavorevole

Combinazione n° 4 - STR (A1-M1-R3)

Condizione	γ	Ψ	Effetto
Peso muro	1.30	--	Sfavorevole
Peso terrapieno	1.30	--	Sfavorevole
Spinta terreno	1.30	--	Sfavorevole
Condizione 1	1.30	--	Sfavorevole
Condizione 2	1.30	--	Sfavorevole
Condizione 4	1.30	--	Sfavorevole
Condizione 4	1.50	1.00	Sfavorevole

Combinazione n° 5 - STR (A1-M1-R3)

Condizione	γ	Ψ	Effetto
Peso muro	1.00	--	Favorevole
Peso terrapieno	1.30	--	Sfavorevole
Spinta terreno	1.30	--	Sfavorevole
Condizione 1	1.30	--	Sfavorevole
Condizione 2	1.30	--	Sfavorevole
Condizione 4	1.30	--	Sfavorevole
Condizione 4	1.50	1.00	Sfavorevole

Combinazione n° 6 - STR (A1-M1-R3)

Condizione	γ	Ψ	Effetto
Peso muro	1.30	--	Sfavorevole
Peso terrapieno	1.00	--	Favorevole
Spinta terreno	1.30	--	Sfavorevole
Condizione 1	1.30	--	Sfavorevole
Condizione 2	1.30	--	Sfavorevole
Condizione 4	1.30	--	Sfavorevole
Condizione 4	1.50	1.00	Sfavorevole

Combinazione n° 7 - GEO (A2-M2-R2)

Condizione	γ	Ψ	Effetto
Peso muro	1.00	--	Sfavorevole
Peso terrapieno	1.00	--	Sfavorevole
Spinta terreno	1.00	--	Sfavorevole
Condizione 1	1.00	--	Sfavorevole

Condizione	γ	Ψ	Effetto
Condizione 2	1.00	--	Sfavorevole
Condizione 4	1.00	--	Sfavorevole
Condizione 4	1.30	1.00	Sfavorevole

Combinazione n° 8 - GEO (A2-M2-R2) H + V

Condizione	γ	Ψ	Effetto
Peso muro	1.00	--	Sfavorevole
Peso terrapieno	1.00	--	Sfavorevole
Spinta terreno	1.00	--	Sfavorevole
Condizione 1	1.00	--	Sfavorevole
Condizione 2	1.00	--	Sfavorevole
Condizione 4	1.00	1.00	Sfavorevole
Condizione 4	1.00	--	Sfavorevole

Combinazione n° 9 - GEO (A2-M2-R2) H - V

Condizione	γ	Ψ	Effetto
Peso muro	1.00	--	Sfavorevole
Peso terrapieno	1.00	--	Sfavorevole
Spinta terreno	1.00	--	Sfavorevole
Condizione 1	1.00	--	Sfavorevole
Condizione 2	1.00	--	Sfavorevole
Condizione 4	1.00	1.00	Sfavorevole
Condizione 4	1.00	--	Sfavorevole

Combinazione n° 10 - EQU (A1-M1-R3)

Condizione	γ	Ψ	Effetto
Peso muro	1.00	--	Favorevole
Peso terrapieno	1.00	--	Favorevole
Spinta terreno	1.30	--	Sfavorevole
Condizione 1	1.30	--	Sfavorevole
Condizione 2	1.30	--	Sfavorevole
Condizione 4	1.30	--	Sfavorevole
Condizione 4	1.50	1.00	Sfavorevole

Combinazione n° 11 - EQU (A1-M1-R3) H + V

Condizione	γ	Ψ	Effetto
Peso muro	1.00	--	Favorevole
Peso terrapieno	1.00	--	Favorevole
Spinta terreno	1.00	--	Sfavorevole
Condizione 1	1.00	--	Sfavorevole
Condizione 2	1.00	--	Sfavorevole
Condizione 4	1.00	1.00	Sfavorevole
Condizione 4	1.00	--	Sfavorevole

Combinazione n° 12 - EQU (A1-M1-R3) H - V

Condizione	γ	Ψ	Effetto
Peso muro	1.00	--	Favorevole
Peso terrapieno	1.00	--	Favorevole
Spinta terreno	1.00	--	Sfavorevole
Condizione 1	1.00	--	Sfavorevole
Condizione 2	1.00	--	Sfavorevole
Condizione 4	1.00	1.00	Sfavorevole
Condizione 4	1.00	--	Sfavorevole

Combinazione n° 13 - SLER

Condizione	γ	Ψ	Effetto
Peso muro	1.00	--	Sfavorevole
Peso terrapieno	1.00	--	Sfavorevole
Spinta terreno	1.00	--	Sfavorevole
Condizione 1	1.00	--	Sfavorevole
Condizione 2	1.00	--	Sfavorevole
Condizione 4	1.00	--	Sfavorevole
Condizione 4	1.00	1.00	Sfavorevole

Combinazione n° 14 - SLEF

Condizione	γ	Ψ	Effetto
Peso muro	1.00	--	Sfavorevole
Peso terrapieno	1.00	--	Sfavorevole
Spinta terreno	1.00	--	Sfavorevole
Condizione 1	1.00	--	Sfavorevole
Condizione 2	1.00	--	Sfavorevole
Condizione 4	1.00	--	Sfavorevole
Condizione 4	1.00	1.00	Sfavorevole

Combinazione n° 15 - SLEQ

Condizione	γ	Ψ	Effetto
Peso muro	1.00	--	Sfavorevole
Peso terrapieno	1.00	--	Sfavorevole

Condizione	γ	Ψ	Effetto
Spinta terreno	1.00	--	Sfavorevole
Condizione 1	1.00	--	Sfavorevole
Condizione 2	1.00	--	Sfavorevole
Condizione 4	1.00	--	Sfavorevole
Condizione 4	1.00	1.00	Sfavorevole

Combinazione n° 16 - HYD

Condizione	γ	Ψ	Effetto
Peso muro	1.00	--	Favorevole
Peso terrapieno	1.00	--	Favorevole
Spinta terreno	1.00	--	Sfavorevole
Condizione 1	1.00	--	Sfavorevole
Condizione 2	1.00	--	Sfavorevole
Condizione 4	1.00	--	Sfavorevole
Condizione 4	1.00	1.00	Sfavorevole

Combinazione n° 17 - UPL

Condizione	γ	Ψ	Effetto
Peso muro	0.90	--	Favorevole
Peso terrapieno	0.90	--	Favorevole
Spinta terreno	1.10	--	Sfavorevole
Condizione 1	1.10	--	Sfavorevole
Condizione 2	1.10	--	Sfavorevole
Condizione 4	1.10	--	Sfavorevole
Condizione 4	1.50	1.00	Sfavorevole

Dati sismici

Comune	Cetara
Provincia	Salerno
Regione	Campania
Latitudine	40.647666
Longitudine	14.700572
Indice punti di interpolazione	34095 - 34096 - 33874 - 33873
Vita nominale	50 anni
Classe d'uso	II
Tipo costruzione	Normali affollamenti
Vita di riferimento	50 anni

	Simbolo	U.M.	SLU	SLE
Accelerazione al suolo	a_a	[m/s ²]	0.963	0.450
Accelerazione al suolo	a_g/g	[%]	0.098	0.046
Massimo fattore amplificazione spettro orizzontale	F0		2.614	2.382
Periodo inizio tratto spettro a velocità costante	Tc*		0.437	0.324
Tipo di sottosuolo - Coefficiente stratigrafico	Ss		C	1.500
Categoria topografica - Coefficiente amplificazione topografica	St		T1	1.000

Stato limite ...	Coeff. di riduzione β_m	kh	kv
Ultimo	0.380	5.596	2.798
Ultimo - Ribaltamento	0.570	8.395	4.197
Esercizio	0.470	3.233	1.617

Forma diagramma incremento sismico **Rettangolare**

Verifiche strutturali

Verifiche a flessione

Elementi calcolati a trave

Simbologia adottata

n°	indice sezione
Y	ordinata sezione espressa in [m]
B	larghezza sezione espresso in [cm]
H	altezza sezione espressa in [cm]
Afi	area ferri inferiori espresso in [cmq]
Afs	area ferri superiori espressa in [cmq]
M	momento agente espressa in [kgm]
N	sfuerzo normale agente espressa in [kg]
Mu	momento ultimi espresso in [kgm]
Nu	sfuerzo normale ultimo espressa in [kg]
FS	fattore di sicurezza (rapporto tra sollecitazione ultima e sollecitazione agente)

Oggetto	Is	B [cm]	H [cm]	Afi [cmq]	Afs [cmq]	M [kgm]	N [kg]	Mu [kgm]	Nu [kg]	FS
Fondazione	4	100	80	16.08	16.08	-16943	0	-46903	0	2.768
Contrafforte	45	40	200	30.16	58.31	15979	36205	738370	1672981	46.209

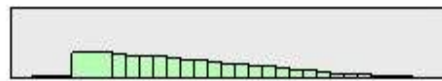
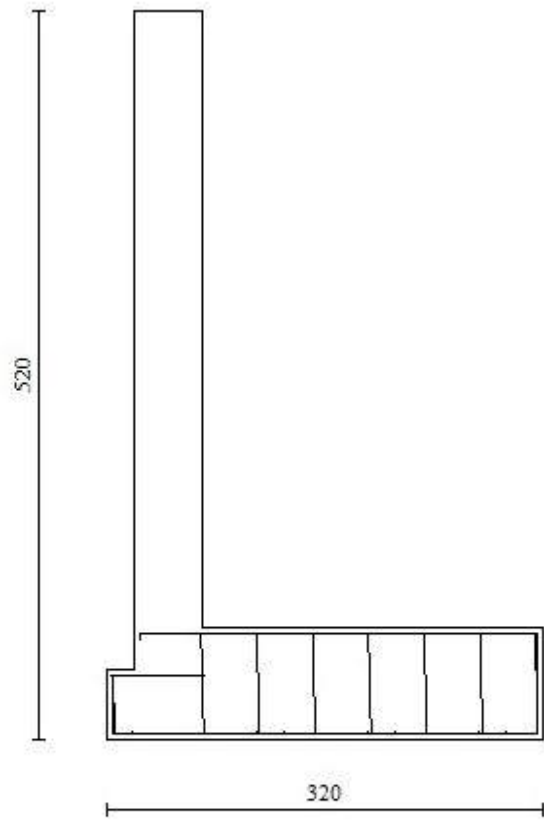


Fig. 3 - Paramento (Inviluppo)

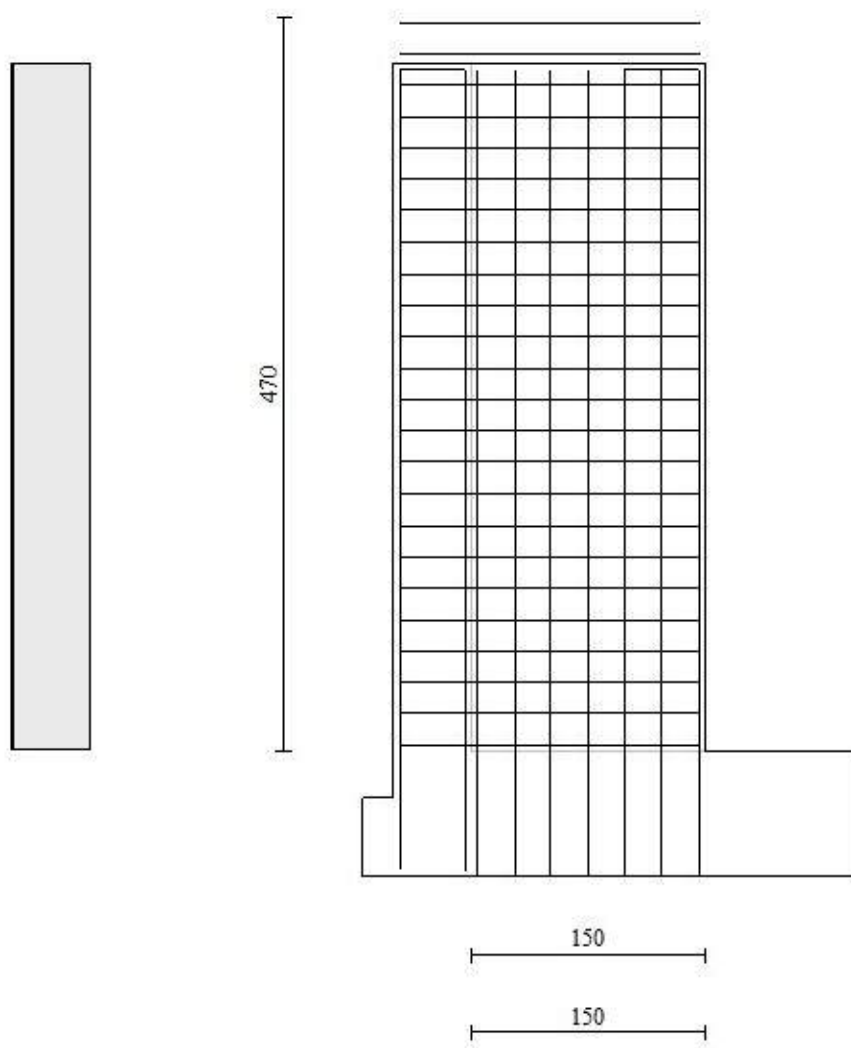


Fig. 4 - Contrafforte (Inviluppo)

Verifiche a taglio

Simbologia adottata

Is	indice sezione
Y	ordinata sezione espressa in [m]
B	larghezza sezione espressa in [cm]
H	altezza sezione espressa in [cm]
A _{sw}	area ferri a taglio espresso in [cmq]
cotθ	inclinazione delle bielle compresse, θ inclinazione dei puntoni di calcestruzzo
V _{Rcd}	resistenza di progetto a 'taglio compressione' espressa in [kg]
V _{Rsd}	resistenza di progetto a 'taglio trazione' espressa in [kg]
V _{Rd}	resistenza di progetto a taglio espresso in [kg]. Per elementi con armature trasversali resistenti al taglio (A _{sw} >0.0) V _{Rd} =min(V _{Rcd} , V _{Rsd}).
T	taglio agente espressa in [kg]
FS	fattore di sicurezza (rapporto tra sollecitazione resistente e sollecitazione agente)

Oggetto	Is	B [cm]	H [cm]	A _{sw} [cmq]	cotθ	V _{Rcd} [kg]	V _{Rsd} [kg]	V _{Rd} [kg]	T [kg]	FS
Fondazione	15	100	80	0.00		0	0	29240	-9404	3.109
Contrafforte	45	40	200	0.00	2.500	148133	3042736	148133	8118	18.248

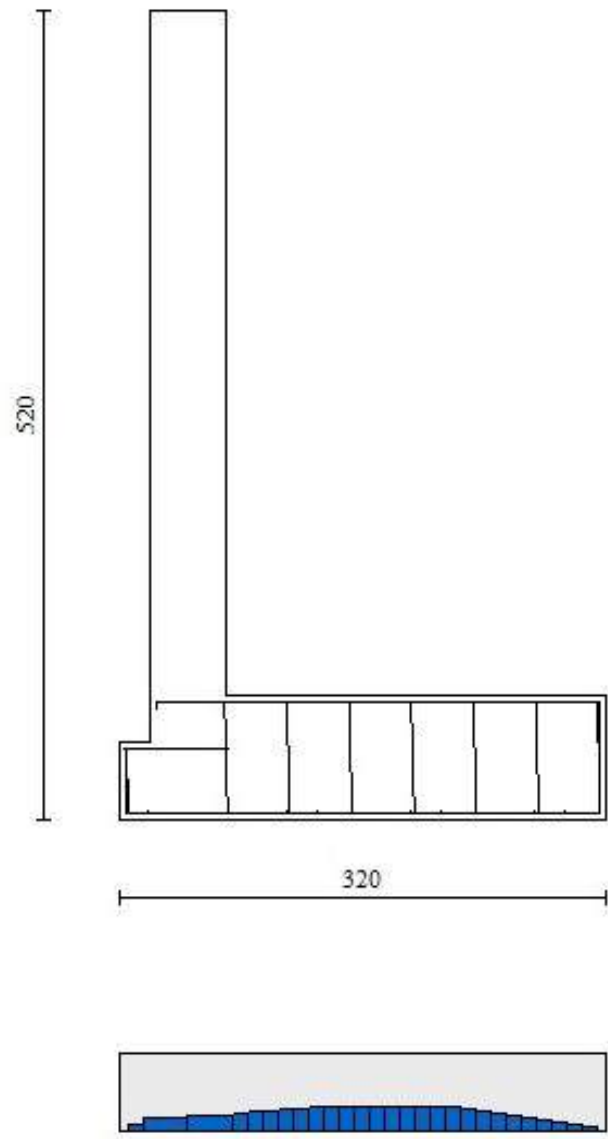


Fig. 5 - Paramento (Inviluppo)

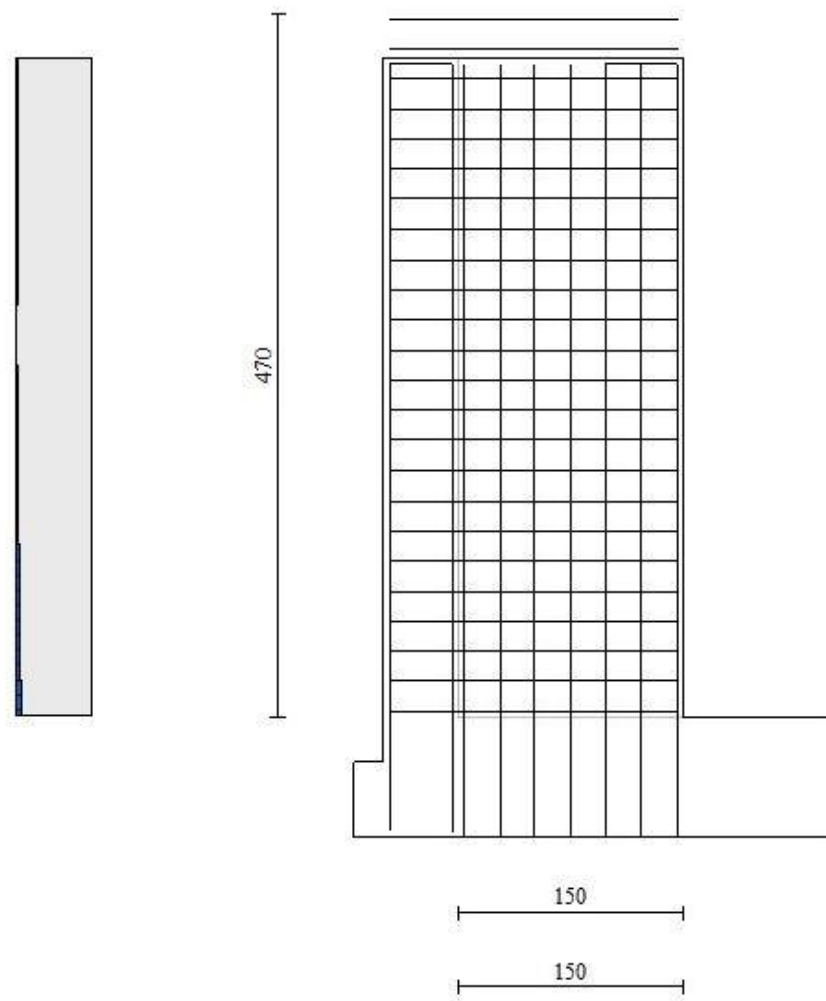


Fig. 6 - Contrafforte (Involuppo)

Verifica delle tensioni

Simbologia adottata

n°	indice sezione
Y	ordinata sezione, espressa in [m]
B	larghezza sezione, espressa in [cm]
H	altezza sezione, espressa in [cm]
Afi	area ferri inferiori, espresso in [cmq]
Afs	area ferri superiori, espressa in [cmq]
M	momento agente, espressa in [kgm]
N	sforzo normale agente, espressa in [kg]
σ_c	tensione di compressione nel cls, espressa in [kg/cmq]
σ_{fi}	tensione nei ferri inferiori, espressa in [kg/cmq]
σ_{fs}	tensione nei ferri superiori, espressa in [kg/cmq]

Combinazioni SLER

Oggetto	Is	B [cm]	H [cm]	Afi [cmq]	Afs [cmq]	σ_c [kg/cmq]	$\sigma_{c,lim}$ [kg/cmq]	σ_{fi} [kg/cmq]	σ_{fs} [kg/cmq]	$\sigma_{f,lim}$ [kg/cmq]
Fondazione	4	100	80	16.08	16.08	5.76	124.50	65.09	340.92	3670.92
Contrafforte	45	40	200	30.16	58.31	2.74	124.50	30.66	39.32	3670.92

Combinazioni SLEF

Oggetto	Is	B [cm]	H [cm]	Afi [cmq]	Afs [cmq]	σ_c [kg/cmq]	$\sigma_{c,lim}$ [kg/cmq]	σ_{fi} [kg/cmq]	σ_{fs} [kg/cmq]	$\sigma_{f,lim}$ [kg/cmq]
Fondazione	4	100	80	16.08	16.08	5.76	207.50	65.09	340.92	4588.65
Contrafforte	45	40	200	30.16	58.31	2.74	207.50	30.66	39.32	4588.65

Combinazioni SLEQ

Oggetto	Is	B [cm]	H [cm]	Afi [cmq]	Afs [cmq]	σ_c [kg/cmq]	$\sigma_{c,lim}$ [kg/cmq]	σ_n [kg/cmq]	σ_{fs} [kg/cmq]	$\sigma_{r,lim}$ [kg/cmq]
Fondazione	4	100	80	16.08	16.08	5.76	93.38	65.09	340.92	4588.65
Contrafforte	45	40	200	30.16	58.31	2.74	93.38	30.66	39.32	4588.65

Verifica a fessurazione

Simbologia adottata

n°	indice sezione
Y	ordinata sezione espressa in [m]
B	larghezza sezione espresso in [cm]
H	altezza sezione espressa in [cm]
Af	area ferri zona tesa espresso in [cmq]
Aeff	area efficace espressa in [cmq]
M	momento agente espressa in [kgm]
Mpf	momento di prima fessurazione espressa in [kgm]
ϵ	deformazione espresso in %
Sm	spaziatura tra le fessure espressa in [mm]
w	apertura delle fessure espressa in [mm]

Combinazioni SLEF

Oggetto	Is	B [cm]	H [cm]	Af [cmq]	Aeff [cmq]	M [kgm]	Mpf [kgm]	ϵ [%]	Sm [mm]	w [mm]	w _{lim} [mm]
Fondazione	4	100	80	16.08	950.00	-3911	-27926	0.000000	0	0.000	0.400
Contrafforte	45	40	200	58.31	380.00	12100	125335	0.000000	0	0.000	0.400

Combinazioni SLEQ

Oggetto	Is	B [cm]	H [cm]	Af [cmq]	Aeff [cmq]	M [kgm]	Mpf [kgm]	ϵ [%]	Sm [mm]	w [mm]	w _{lim} [mm]
Fondazione	4	100	80	16.08	950.00	-3911	-27926	0.000000	0	0.000	0.300
Contrafforte	45	40	200	58.31	380.00	12100	125335	0.000000	0	0.000	0.300

TIPOLOGIA 3

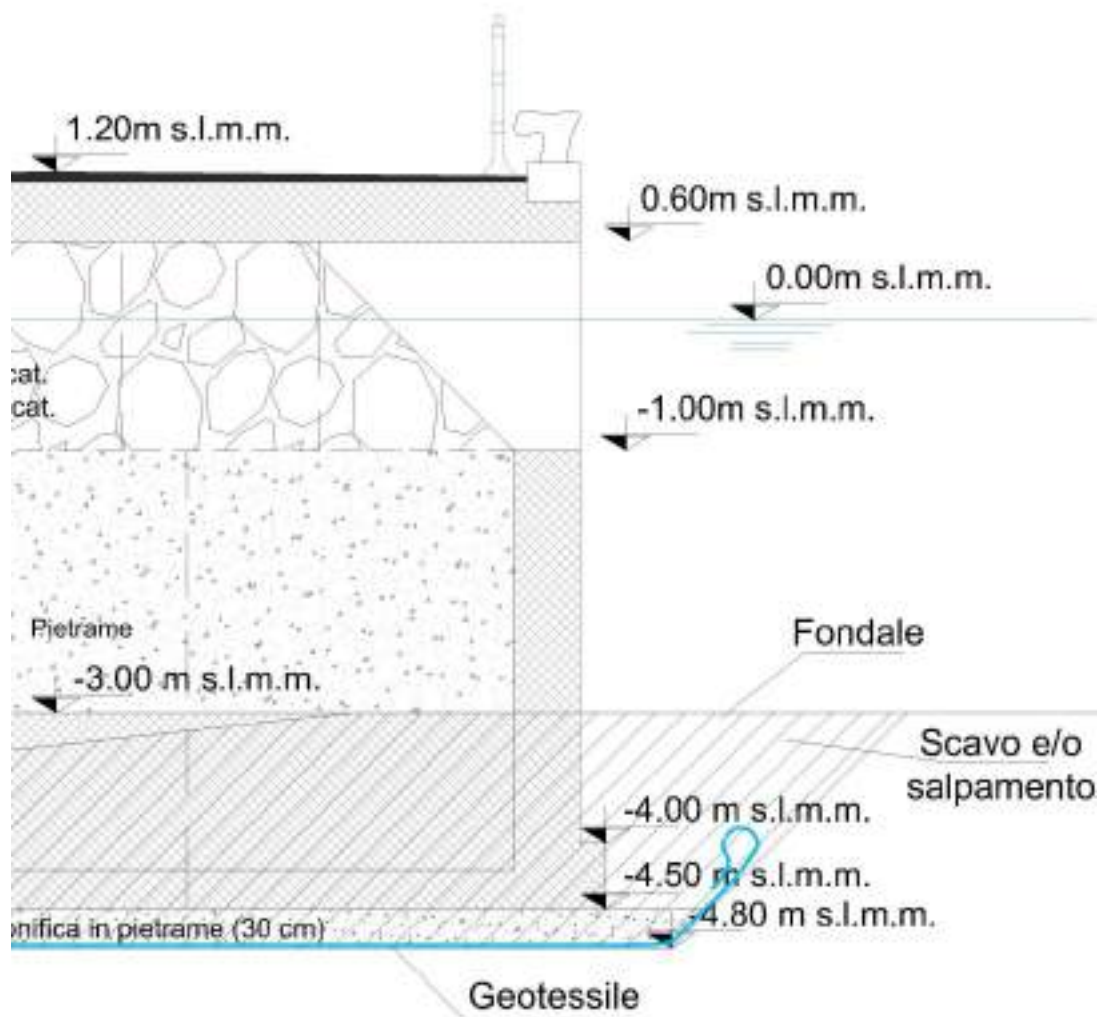


Figura 3- Sezione di progetto allungamento molo sottoflutto tipologia 3 con piano di posa -4.5m s.l.m.m (moduli C,C1,D,D1)

Dati

Materiali

Simbologia adottata

n°	Indice materiale
Descr	Descrizione del materiale
Calcestruzzo armato	
C	Classe di resistenza del cls
A	Classe di resistenza dell'acciaio
γ	Peso specifico, espresso in [kg/mc]
R_{ck}	Resistenza caratteristica a compressione, espressa in [kg/cm ²]
E	Modulo elastico, espresso in [kg/cm ²]
ν	Coeff. di Poisson
n	Coeff. di omogenizzazione acciaio/cls
ntc	Coeff. di omogenizzazione cls tesoro/compresso

Calcestruzzo armato

n°	Descr	C	A	γ [kg/mc]	R_{ck} [kg/cm ²]	E [kg/cm ²]	ν	n	ntc
1	Cls Armato	Rck 250	B450C	2500.00	250.00	306659	0.30	15.00	0.50
2	Materiale tiranti	Rck 250	Precomp	2500.00	250.00	306659	0.30	15.00	0.50

Acciai

Descr	f_{yk}	f_{uk}
	[kg/cmq]	[kg/cmq]
B450C	4588.65	5506.38

Geometria profilo terreno a monte del muro

Simbologia adottata

(Sistema di riferimento con origine in testa al muro, ascissa X positiva verso monte, ordinata Y positiva verso l'alto)

n°	numero ordine del punto
X	ascissa del punto espressa in [m]
Y	ordinata del punto espressa in [m]
A	inclinazione del tratto espressa in [°]

n°	X	Y	A
	[m]	[m]	[°]
1	0.00	-1.60	0.000
2	1.60	0.00	45.000
3	12.00	0.00	0.000

Inclinazione terreno a valle del muro rispetto all'orizzontale 0.000 [°]

Falda

Simbologia adottata

(Sistema di riferimento con origine in testa al muro, ascissa X positiva verso monte, ordinata Y positiva verso l'alto)

n°	numero ordine del punto
X	ascissa del punto espressa in [m]
Y	ordinata del punto espressa in [m]
A	inclinazione del tratto espressa in [°]

n°	X	Y	A
	[m]	[m]	[°]
1	-25.00	-1.20	0.000
2	-0.50	-1.20	0.000
3	0.00	-1.20	0.000
4	15.00	-1.20	0.000

Geometria muro

Geometria paramento e fondazione

Muro con cotrafforti

Lunghezza muro 5.00 [m]

Paramento

Materiale	Cls Armato	
Altezza paramento	5.20	[m]
Altezza paramento libero	5.20	[m]
Spessore in sommità	0.50	[m]
Spessore all'attacco con la fondazione	0.50	[m]
Inclinazione paramento esterno	0.00	[°]
Inclinazione paramento interno	0.00	[°]

Contrafforti

Prefabbricato		
Pendenza sezione	Singola	
Altezza	5.20	[m]
Spessore	0.40	[m]
Interasse	2.50	[m]
Larghezza in testa	1.50	[m]
Larghezza alla base	1.50	[m]

Larghezza modulo	2.50	[m]
Numero moduli	1	
Connessione Contrafforte-Paramento	Incastro	

Fondazione

Materiale	Cls Armato	
Lunghezza mensola di valle	0.20	[m]
Lunghezza mensola di monte	2.50	[m]
Lunghezza totale	3.20	[m]
Inclinazione piano di posa	0.00	[°]
Altezza valle esterna	0.50	[m]
Altezza valle interna	0.50	[m]
Altezza monte interna	0.80	[m]
Altezza monte esterna	0.80	[m]
Spessore magrone	0.00	[m]

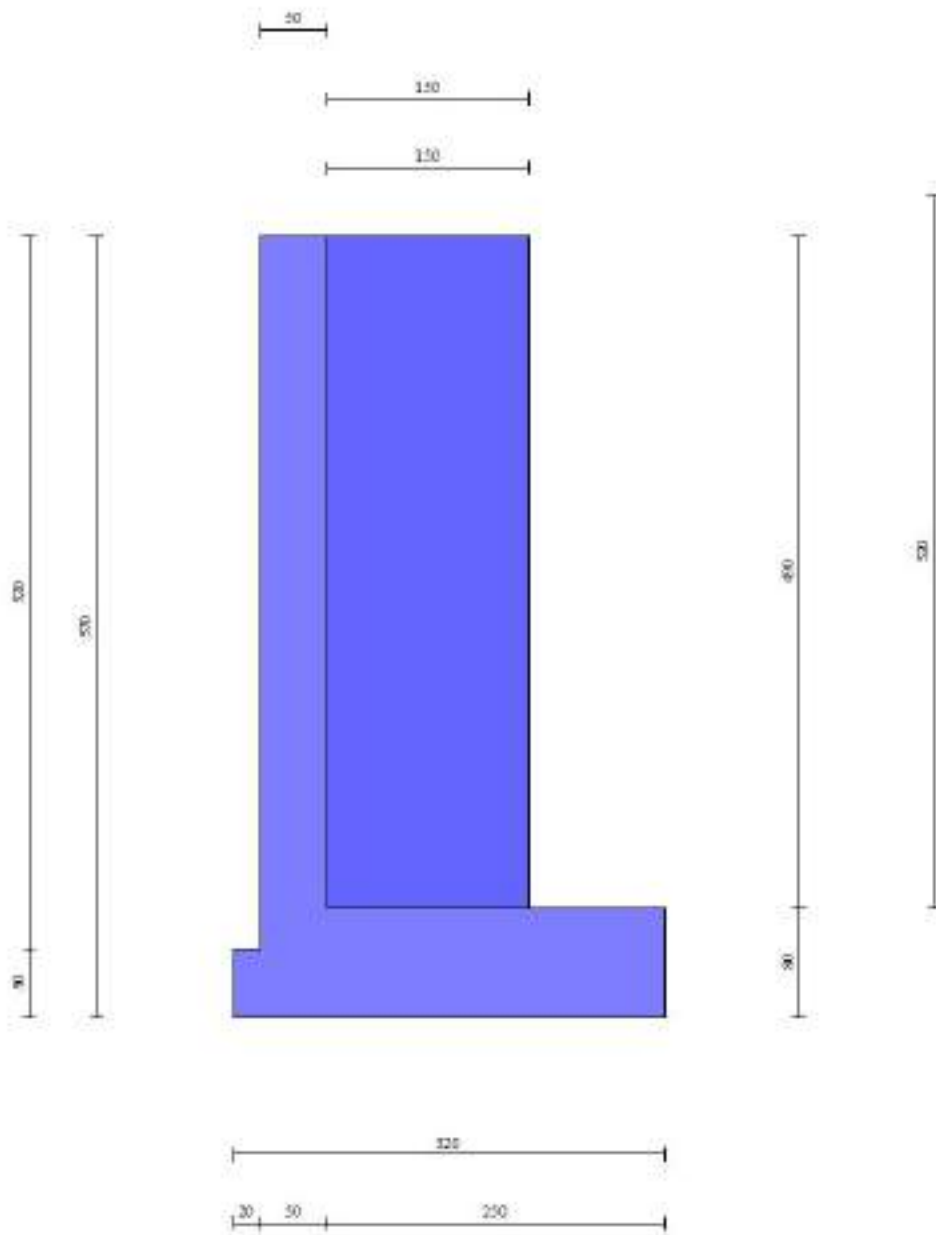


Fig. 1 - Sezione quotata del muro

Descrizione terreni

Parametri di resistenza

Simbologia adottata

n°	Indice del terreno
Descr	Descrizione terreno
γ	Peso di volume del terreno espresso in [kg/mc]
γ_s	Peso di volume saturo del terreno espresso in [kg/mc]
ϕ	Angolo d'attrito interno espresso in [°]
δ	Angolo d'attrito terra-muro espresso in [°]
c	Coesione espressa in [kg/cm ²]
c _a	Adesione terra-muro espressa in [kg/cm ²]
<u>Per calcolo portanza con il metodo di Bustamante-Doix</u>	
Cesp	Coeff. di espansione laterale (solo per il metodo di Bustamante-Doix)
τ_l	Tensione tangenziale limite, espressa in [kg/cm ²]

n°	Descr	γ [kg/mc]	γ_{sat} [kg/mc]	ϕ [°]	δ [°]	c [kg/cm ²]	c _a [kg/cm ²]	Cesp	τ_l [kg/cm ²]
1	Sabbia grigiastra	1800.00	2000.00	30.000	20.000	0.00	0.00	---	---
2	Massi Calcarei	1800.00	2100.00	40.000	26.670	0.00	0.00	---	---
3	Sabbia grigio nerastra	1800.00	2000.00	22.000	14.670	0.00	0.00	---	---
4	Clasti calcarei	1800.00	2000.00	30.000	20.000	0.00	0.00	---	---
5	Pietrame scavo	2100.00	2350.00	45.000	30.000	0.00	0.00	---	---

Stratigrafia

Simbologia adottata

n°	Indice dello strato
H	Spessore dello strato espresso in [m]
α	Inclinazione espressa in [°]
Terreno	Terreno dello strato
<u>Per calcolo pali (solo se presenti)</u>	
Kw	Costante di Winkler orizzontale espressa in Kg/cm ² /cm
Ks	Coefficiente di spinta
Cesp	Coefficiente di espansione laterale (per tutti i metodi tranne il metodo di Bustamante-Doix)

Per calcolo della spinta con coeff. di spinta definiti (usati solo se attiva l'opzione 'Usa coeff. di spinta da strato')

Kst_{sta}, Kst_{sis} Coeff. di spinta statico e sismico

n°	H [m]	α [°]	Terreno	Kw [Kg/cm ²]	Ks	Cesp	Kst _{sta}	Kst _{sis}
1	8.00	0.000	Massi Calcarei	---	---	---	---	---
2	2.50	0.000	Sabbia grigiastra	---	---	---	---	---
3	8.00	0.000	Sabbia grigio nerastra	---	---	---	---	---
4	8.00	0.000	Clasti calcarei	---	---	---	---	---

Terreno di riempimento: Pietrame scavo
 Inclinazione riempimento (rispetto alla verticale): 45.00 [°]

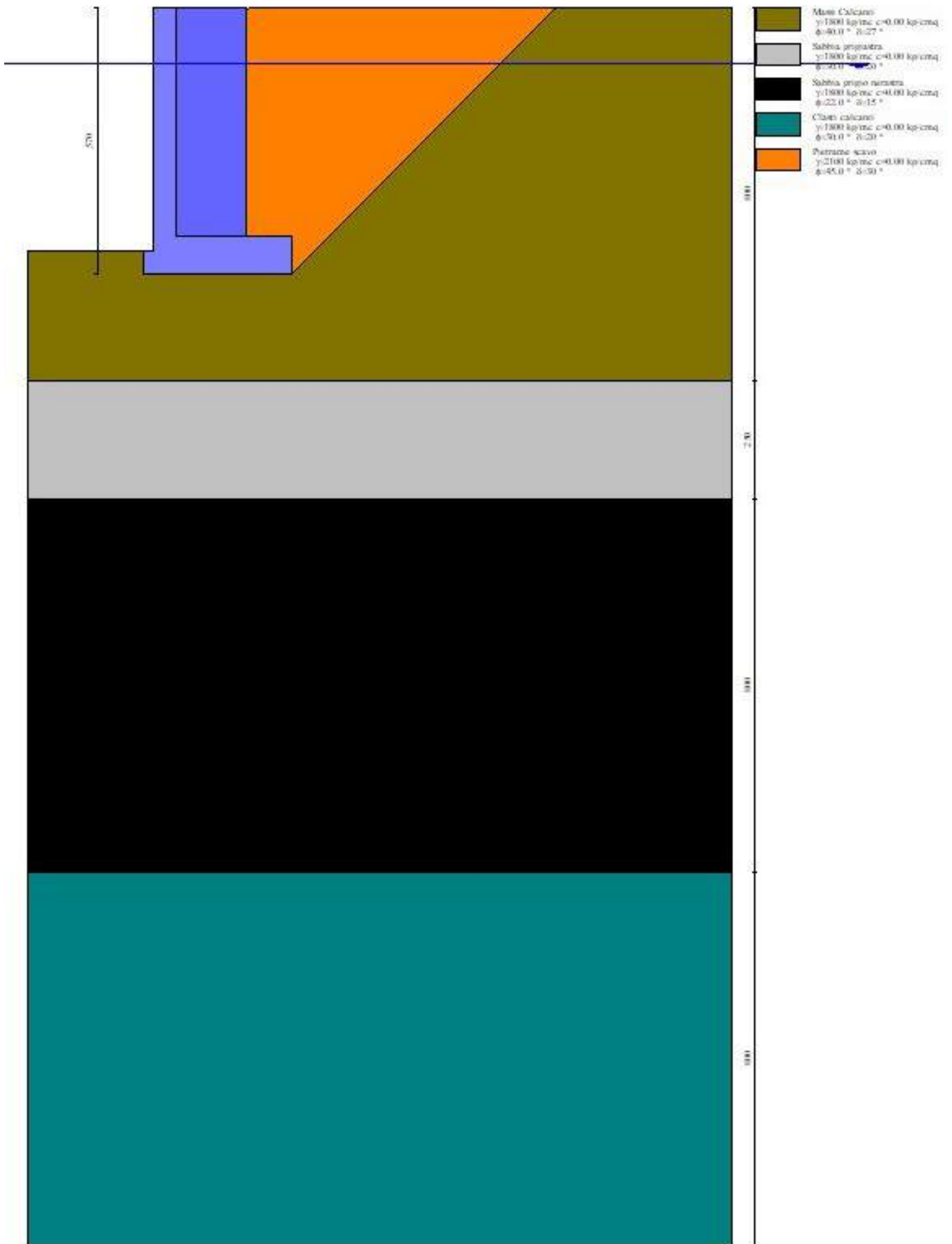


Fig. 2 - Stratigrafia

Condizioni di carico

Simbologia adottata

Carichi verticali positivi verso il basso.

Carichi orizzontali positivi verso sinistra.

Momento positivo senso antiorario.

X	Ascissa del punto di applicazione del carico concentrato espressa in [m]
F _x	Componente orizzontale del carico concentrato espressa in [kg]
F _y	Componente verticale del carico concentrato espressa in [kg]
M	Momento espresso in [kgm]
X _i	Ascissa del punto iniziale del carico ripartito espressa in [m]
X _f	Ascissa del punto finale del carico ripartito espressa in [m]
Q _i	Intensità del carico per x=X _i espressa in [kg]
Q _f	Intensità del carico per x=X _f espressa in [kg]

Condizione n° 1 (Condizione 1) - PERMANENTE

Carichi sul muro

n°	Tipo	Dest	X; Y [m]	F _x [kg]	F _y [kg]	M [kgm]	X _i [m]	X _f [m]	Q _i [kg]	Q _f [kg]
1	Concentrato	Paramento	-0.25; 0.00	0.00	3000.00	2250.00				

Carichi sul terreno

n°	Tipo	X [m]	F _x [kg]	F _y [kg]	M [kgm]	X _i [m]	X _f [m]	Q _i [kg]	Q _f [kg]
1	Distribuito					1.50	4.75	1500.00	1500.00

Condizione n° 2 (Condizione 4) - VARIABILE

Coeff. di combinazione $\Psi_0=1.00 - \Psi_1=1.00 - \Psi_2=1.00$

Carichi sul terreno

n°	Tipo	X [m]	F _x [kg]	F _y [kg]	M [kgm]	X _i [m]	X _f [m]	Q _i [kg]	Q _f [kg]
1	Distribuito					0.00	10.75	500.00	500.00

Normativa

Normativa usata: **Norme Tecniche sulle Costruzioni 2018 (D.M. 17.01.2018) + Circolare C.S.LL.PP. 21/01/2019 n.7**

Coeff. parziali per le azioni o per l'effetto delle azioni

Carichi	Effetto		Combinazioni statiche				Combinazioni sismiche			
			HYD	UPL	EQU	A1	A2	EQU	A1	A2
Permanenti strutturali	Favorevoli	$\gamma_{G1, fav}$	1.00	0.90	1.00	1.00	1.00	1.00	1.00	1.00
Permanenti strutturali	Sfavorevoli	$\gamma_{G1, sfav}$	1.00	1.10	1.30	1.30	1.00	1.00	1.00	1.00
Permanenti non strutturali	Favorevoli	$\gamma_{G2, fav}$	0.00	0.80	0.80	0.80	0.80	0.00	0.00	0.00
Permanenti non strutturali	Sfavorevoli	$\gamma_{G2, sfav}$	1.00	1.50	1.50	1.50	1.30	1.00	1.00	1.00
Variabili	Favorevoli	$\gamma_{O, fav}$	0.00	0.00	0.00	0.00	0.00	0.00	0.00	0.00
Variabili	Sfavorevoli	$\gamma_{O, sfav}$	1.00	1.50	1.50	1.50	1.30	1.00	1.00	1.00
Variabili da traffico	Favorevoli	$\gamma_{QT, fav}$	0.00	0.00	0.00	0.00	0.00	0.00	0.00	0.00
Variabili da traffico	Sfavorevoli	$\gamma_{QT, sfav}$	1.00	1.50	1.35	1.35	1.15	1.00	1.00	1.00

Coeff. parziali per i parametri geotecnici del terreno

Parametro		Combinazioni statiche		Combinazioni sismiche	
		M1	M2	M1	M2
Tangente dell'angolo di attrito	$\gamma_{\tan(\phi')}$	1.00	1.25	1.00	1.00
Coesione efficace	γ_c	1.00	1.25	1.00	1.00
Resistenza non drenata	γ_{cu}	1.00	1.40	1.00	1.00
Peso nell'unità di volume	γ_s	1.00	1.00	1.00	1.00

Coeff. parziali γ_R per le verifiche agli stati limite ultimi STR e GEO

Verifica	Combinazioni statiche			Combinazioni sismiche		
	R1	R2	R3	R1	R2	R3
Capacità portante	--	--	1.40	--	--	1.20
Scorrimento	--	--	1.10	--	--	1.00
Resistenza terreno a valle	--	--	1.40	--	--	1.20
Ribaltamento	--	--	1.15	--	--	1.00
Stabilità fronte di scavo	--	1.10	--	--	1.20	--

Descrizione combinazioni di carico

Con riferimento alle azioni elementari prima determinate, si sono considerate le seguenti combinazioni di carico:

- Combinazione fondamentale, impiegata per gli stati limite ultimi (SLU):

$$\gamma_{G1} G_1 + \gamma_{G2} G_2 + \gamma_{Q1} Q_{k1} + \gamma_{Q2} Q_{k2} + \gamma_{Q3} Q_{k3} + \dots$$

- Combinazione caratteristica, cosiddetta rara, impiegata per gli stati limite di esercizio (SLE) irreversibili:

$$G_1 + G_2 + Q_{k1} + \Psi_{0,2} Q_{k2} + \Psi_{0,3} Q_{k3} + \dots$$

- Combinazione frequente, impiegata per gli stati limite di esercizio (SLE) reversibili:

$$G_1 + G_2 + \Psi_{1,1} Q_{k1} + \Psi_{2,2} Q_{k2} + \Psi_{2,3} Q_{k3} + \dots$$

- Combinazione quasi permanente, impiegata per gli effetti di lungo periodo:

$$G_1 + G_2 + \Psi_{2,1} Q_{k1} + \Psi_{2,2} Q_{k2} + \Psi_{2,3} Q_{k3} + \dots$$

- Combinazione sismica, impiegata per gli stati limite ultimi connessi all'azione sismica E:

$$E + G_1 + G_2 + \Psi_{2,1} Q_{k1} + \Psi_{2,2} Q_{k2} + \Psi_{2,3} Q_{k3} + \dots$$

I valori dei coeff. $\Psi_{0,j}$, $\Psi_{1,j}$, $\Psi_{2,j}$ sono definiti nelle singole condizioni variabili. per I valori dei coeff. γ_G e γ_Q , sono definiti nella tabella normativa.

In particolare si sono considerate le seguenti combinazioni:

Simbologia adottata

γ Coefficiente di partecipazione della condizione
 Ψ Coefficiente di combinazione della condizione

Combinazione n° 1 - STR (A1-M1-R3)

Condizione	γ	Ψ	Effetto
Peso muro	1.00	--	Favorevole
Peso terrapieno	1.00	--	Favorevole
Spinta terreno	1.30	--	Sfavorevole
Condizione 1	1.30	--	Sfavorevole
Condizione 4	1.50	1.00	Sfavorevole

Combinazione n° 2 - STR (A1-M1-R3) H + V

Condizione	γ	Ψ	Effetto
Peso muro	1.00	--	Favorevole
Peso terrapieno	1.00	--	Favorevole
Spinta terreno	1.00	--	Sfavorevole
Condizione 1	1.00	--	Sfavorevole
Condizione 4	1.00	1.00	Sfavorevole

Combinazione n° 3 - STR (A1-M1-R3) H - V

Condizione	γ	Ψ	Effetto
Peso muro	1.00	--	Sfavorevole
Peso terrapieno	1.00	--	Sfavorevole
Spinta terreno	1.00	--	Sfavorevole
Condizione 1	1.00	--	Sfavorevole
Condizione 4	1.00	1.00	Sfavorevole

Combinazione n° 4 - STR (A1-M1-R3)

Condizione	γ	Ψ	Effetto
Peso muro	1.30	--	Sfavorevole
Peso terrapieno	1.30	--	Sfavorevole
Spinta terreno	1.30	--	Sfavorevole
Condizione 1	1.30	--	Sfavorevole
Condizione 4	1.50	1.00	Sfavorevole

Combinazione n° 5 - STR (A1-M1-R3)

Condizione	γ	Ψ	Effetto
Peso muro	1.00	--	Favorevole
Peso terrapieno	1.30	--	Sfavorevole
Spinta terreno	1.30	--	Sfavorevole
Condizione 1	1.30	--	Sfavorevole
Condizione 4	1.50	1.00	Sfavorevole

Combinazione n° 6 - STR (A1-M1-R3)

Condizione	γ	Ψ	Effetto
Peso muro	1.30	--	Sfavorevole
Peso terrapieno	1.00	--	Favorevole
Spinta terreno	1.30	--	Sfavorevole
Condizione 1	1.30	--	Sfavorevole
Condizione 4	1.50	1.00	Sfavorevole

Combinazione n° 7 - GEO (A2-M2-R2)

Condizione	γ	Ψ	Effetto
Peso muro	1.00	--	Sfavorevole
Peso terrapieno	1.00	--	Sfavorevole
Spinta terreno	1.00	--	Sfavorevole
Condizione 1	1.00	--	Sfavorevole
Condizione 4	1.30	1.00	Sfavorevole

Combinazione n° 8 - GEO (A2-M2-R2) H + V

Condizione	γ	Ψ	Effetto
Peso muro	1.00	--	Sfavorevole
Peso terrapieno	1.00	--	Sfavorevole
Spinta terreno	1.00	--	Sfavorevole
Condizione 1	1.00	--	Sfavorevole
Condizione 4	1.00	1.00	Sfavorevole

Combinazione n° 9 - GEO (A2-M2-R2) H - V

Condizione	γ	Ψ	Effetto
Peso muro	1.00	--	Sfavorevole
Peso terrapieno	1.00	--	Sfavorevole
Spinta terreno	1.00	--	Sfavorevole
Condizione 1	1.00	--	Sfavorevole
Condizione 4	1.00	1.00	Sfavorevole

Combinazione n° 10 - EQU (A1-M1-R3)

Condizione	γ	Ψ	Effetto
Peso muro	1.00	--	Favorevole
Peso terrapieno	1.00	--	Favorevole
Spinta terreno	1.30	--	Sfavorevole
Condizione 1	1.30	--	Sfavorevole
Condizione 4	1.50	1.00	Sfavorevole

Combinazione n° 11 - EQU (A1-M1-R3) H + V

Condizione	γ	Ψ	Effetto
Peso muro	1.00	--	Favorevole
Peso terrapieno	1.00	--	Favorevole
Spinta terreno	1.00	--	Sfavorevole
Condizione 1	1.00	--	Sfavorevole
Condizione 4	1.00	1.00	Sfavorevole

Combinazione n° 12 - EQU (A1-M1-R3) H - V

Condizione	γ	Ψ	Effetto
Peso muro	1.00	--	Favorevole
Peso terrapieno	1.00	--	Favorevole
Spinta terreno	1.00	--	Sfavorevole
Condizione 1	1.00	--	Sfavorevole
Condizione 4	1.00	1.00	Sfavorevole

Combinazione n° 13 - SLER

Condizione	γ	Ψ	Effetto
Peso muro	1.00	--	Sfavorevole
Peso terrapieno	1.00	--	Sfavorevole
Spinta terreno	1.00	--	Sfavorevole
Condizione 1	1.00	--	Sfavorevole
Condizione 4	1.00	1.00	Sfavorevole

Combinazione n° 14 - SLEF

Condizione	γ	Ψ	Effetto
Peso muro	1.00	--	Sfavorevole
Peso terrapieno	1.00	--	Sfavorevole
Spinta terreno	1.00	--	Sfavorevole
Condizione 1	1.00	--	Sfavorevole
Condizione 4	1.00	1.00	Sfavorevole

Combinazione n° 15 - SLEQ

Condizione	γ	Ψ	Effetto
Peso muro	1.00	--	Sfavorevole
Peso terrapieno	1.00	--	Sfavorevole
Spinta terreno	1.00	--	Sfavorevole
Condizione 1	1.00	--	Sfavorevole
Condizione 4	1.00	1.00	Sfavorevole

Combinazione n° 16 - HYD

Condizione	γ	Ψ	Effetto
Peso muro	1.00	--	Favorevole
Peso terrapieno	1.00	--	Favorevole

Condizione	γ	Ψ	Effetto
Spinta terreno	1.00	--	Sfavorevole
Condizione 1	1.00	--	Sfavorevole
Condizione 4	1.00	1.00	Sfavorevole

Combinazione n° 17 - UPL

Condizione	γ	Ψ	Effetto
Peso muro	0.90	--	Favorevole
Peso terrapieno	0.90	--	Favorevole
Spinta terreno	1.10	--	Sfavorevole
Condizione 1	1.10	--	Sfavorevole
Condizione 4	1.50	1.00	Sfavorevole

Dati sismici

Comune	Cetara
Provincia	Salerno
Regione	Campania
Latitudine	40.647666
Longitudine	14.700572
Indice punti di interpolazione	34095 - 34096 - 33874 - 33873
Vita nominale	50 anni
Classe d'uso	II
Tipo costruzione	Normali affollamenti
Vita di riferimento	50 anni

	Simbolo	U.M.	SLU	SLE
Accelerazione al suolo	a_q	[m/s ²]	0.963	0.450
Accelerazione al suolo	a_g/g	[%]	0.098	0.046
Massimo fattore amplificazione spettro orizzontale	F0		2.614	2.382
Periodo inizio tratto spettro a velocità costante	Tc*		0.437	0.324
Tipo di sottosuolo - Coefficiente stratigrafico	Ss		1.500	1.500
Categoria topografica - Coefficiente amplificazione topografica	St		T1	1.000

Stato limite ...	Coeff. di riduzione β_m	kh	kv
Ultimo	0.380	5.596	2.798
Ultimo - Ribaltamento	0.570	8.395	4.197
Esercizio	0.470	3.233	1.617

Forma diagramma incremento sismico **Rettangolare**

Verifiche strutturali

Verifiche a flessione

Elementi calcolati a trave

Simbologia adottata

n°	indice sezione
Y	ordinata sezione espressa in [m]
B	larghezza sezione espressa in [cm]
H	altezza sezione espressa in [cm]
Afi	area ferri inferiori espressa in [cmq]
Afs	area ferri superiori espressa in [cmq]
M	momento agente espressa in [kgm]
N	sforzo normale agente espressa in [kg]
Mu	momento ultimi espresso in [kgm]
Nu	sforzo normale ultimo espressa in [kg]
FS	fattore di sicurezza (rapporto tra sollecitazione ultima e sollecitazione agente)

Oggetto	Is	B [cm]	H [cm]	Afi [cmq]	Afs [cmq]	M [kgm]	N [kg]	Mu [kgm]	Nu [kg]	FS
Fondazione	4	100	80	16.08	16.08	-20920	0	-46903	0	2.242
Contrafforte	50	40	200	30.16	58.31	22104	30801	831177	1158188	37.602

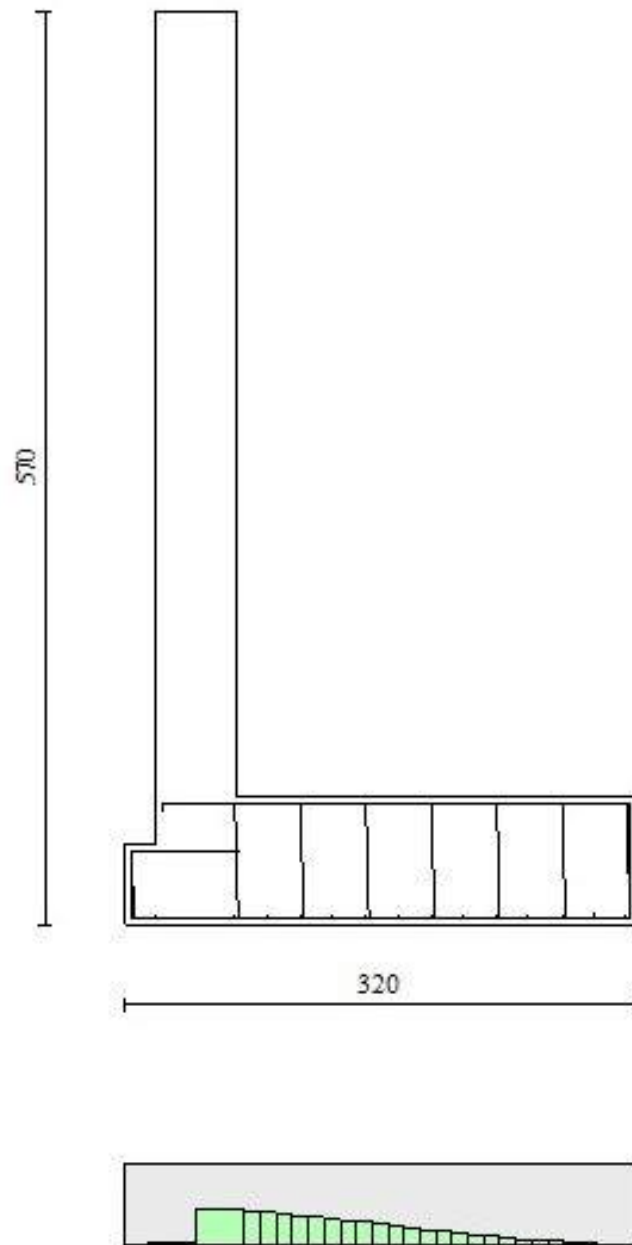


Fig. 3 - Paramento (Inviluppo)

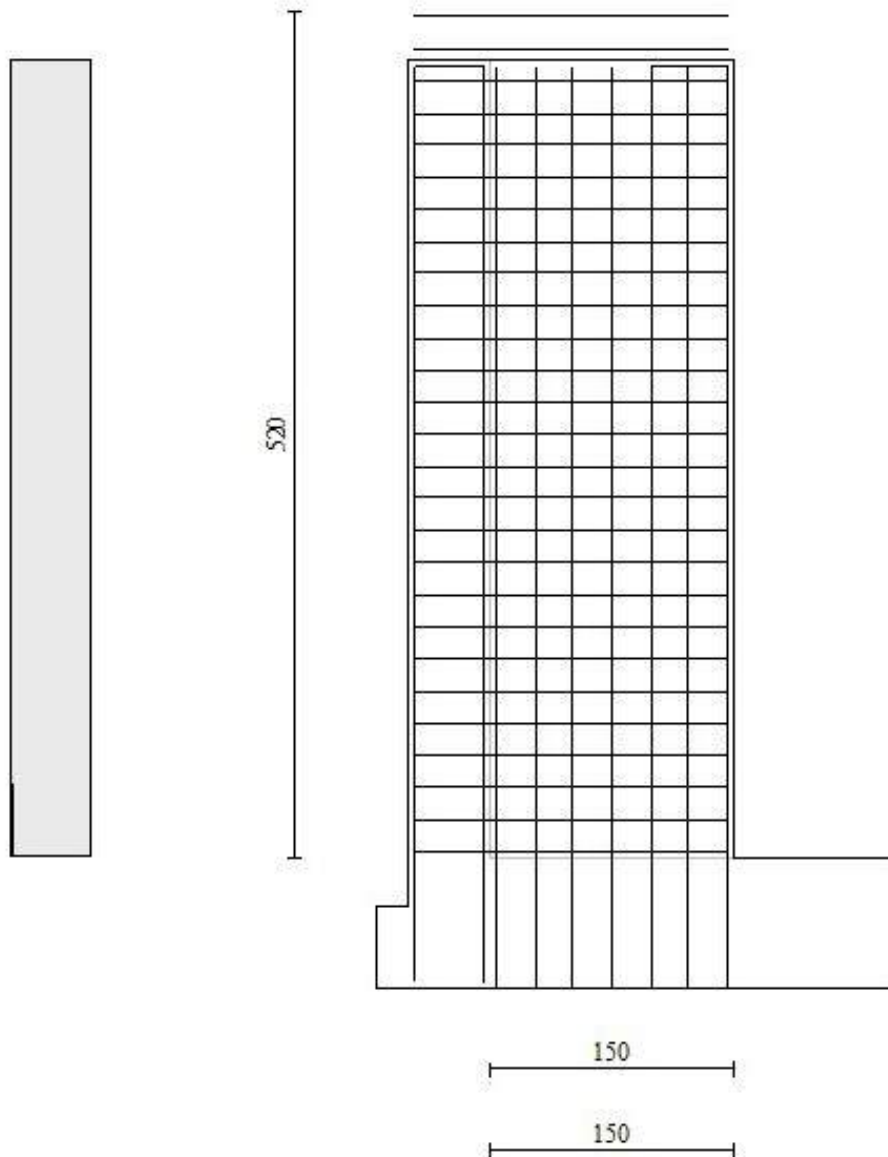


Fig. 4 - Contrafforte (Inviluppo)

Verifiche a taglio

Simbologia adottata

Is	indice sezione
Y	ordinata sezione espressa in [m]
B	larghezza sezione espressa in [cm]
H	altezza sezione espressa in [cm]
A _{sw}	area ferri a taglio espressa in [cm ²]
cotθ	inclinazione delle bielle compresse, θ inclinazione dei puntoni di calcestruzzo
V _{Rcd}	resistenza di progetto a 'taglio compressione' espressa in [kg]
V _{Rsd}	resistenza di progetto a 'taglio trazione' espressa in [kg]
V _{Rd}	resistenza di progetto a taglio espressa in [kg]. Per elementi con armature trasversali resistenti al taglio (A _{sw} >0.0) V _{Rd} =min(V _{Rcd} , V _{Rsd}).
T	taglio agente espressa in [kg]
FS	fattore di sicurezza (rapporto tra sollecitazione resistente e sollecitazione agente)

Oggetto	Is	B [cm]	H [cm]	A _{sw} [cm ²]	cotθ	V _{Rcd} [kg]	V _{Rsd} [kg]	V _{Rd} [kg]	T [kg]	FS
Fondazione	14	100	80	0.00		0	0	29240	-11512	2.540
Contrafforte	50	40	200	0.00	2.500	148493	3611595	148493	10065	14.754

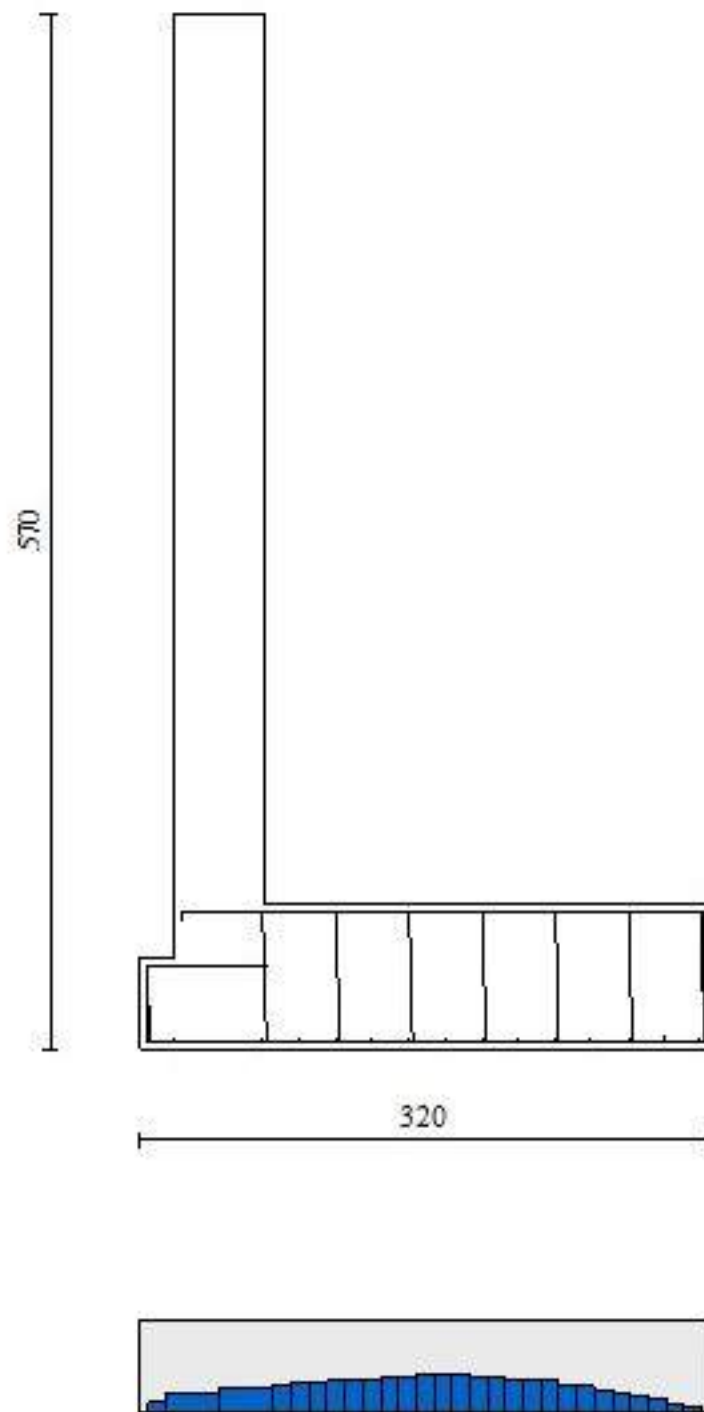


Fig. 5 - Paramento (Inviluppo)

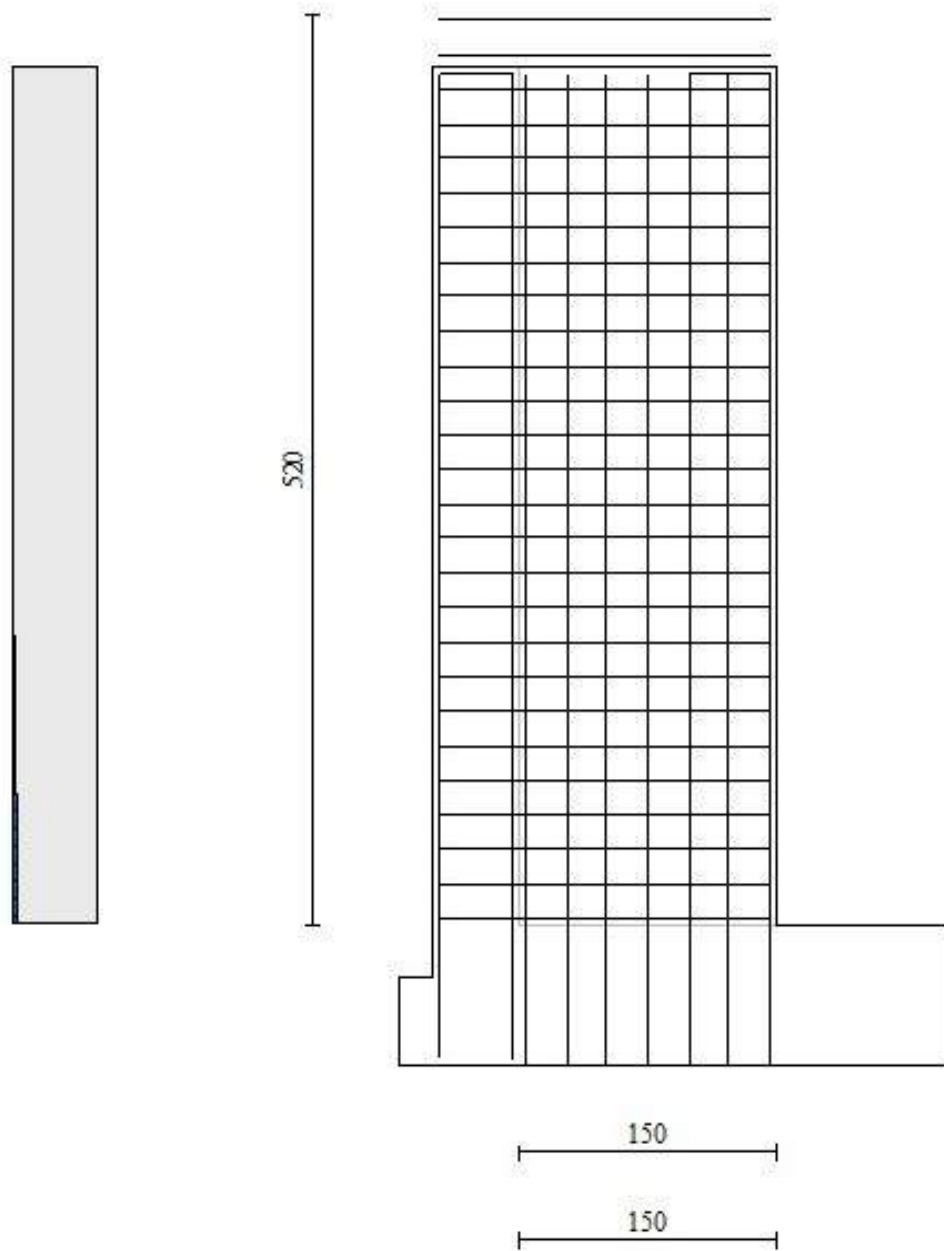


Fig. 6 - Contrafforte (Inviluppo)

Verifica delle tensioni

Simbologia adottata

n°	indice sezione
Y	ordinata sezione, espressa in [m]
B	larghezza sezione, espressa in [cm]
H	altezza sezione, espressa in [cm]
A_{fi}	area ferri inferiori, espresso in [cmq]
A_{fs}	area ferri superiori, espressa in [cmq]
M	momento agente, espressa in [kgm]
N	sforzo normale agente, espressa in [kg]
σ_c	tensione di compressione nel cls, espressa in [kg/cm ²]
σ_{fi}	tensione nei ferri inferiori, espressa in [kg/cm ²]
σ_{fs}	tensione nei ferri superiori, espressa in [kg/cm ²]

Combinazioni SLER

Oggetto	I_s	B	H	A_{fi}	A_{fs}	σ_c	$\sigma_{c,lim}$	σ_{fi}	σ_{fs}	$\sigma_{f,lim}$
		[cm]	[cm]	[cmq]	[cmq]	[kg/cm ²]				

Oggetto	Is	B [cm]	H [cm]	Afi [cmq]	Afs [cmq]	σ_c [kg/cmq]	$\sigma_{c,lim}$ [kg/cmq]	σ_{fi} [kg/cmq]	σ_{fs} [kg/cmq]	$\sigma_{f,lim}$ [kg/cmq]
Fondazione	4	100	80	16.08	16.08	7.62	124.50	86.10	450.97	3670.92
Contrafforte	50	40	200	30.16	58.31	3.26	124.50	49.89	46.47	3670.92

Combinazioni SLEF

Oggetto	Is	B [cm]	H [cm]	Afi [cmq]	Afs [cmq]	σ_c [kg/cmq]	$\sigma_{c,lim}$ [kg/cmq]	σ_{fi} [kg/cmq]	σ_{fs} [kg/cmq]	$\sigma_{f,lim}$ [kg/cmq]
Fondazione	4	100	80	16.08	16.08	7.62	207.50	86.10	450.97	4588.65
Contrafforte	50	40	200	30.16	58.31	3.26	207.50	49.89	46.47	4588.65

Combinazioni SLEQ

Oggetto	Is	B [cm]	H [cm]	Afi [cmq]	Afs [cmq]	σ_c [kg/cmq]	$\sigma_{c,lim}$ [kg/cmq]	σ_{fi} [kg/cmq]	σ_{fs} [kg/cmq]	$\sigma_{f,lim}$ [kg/cmq]
Fondazione	4	100	80	16.08	16.08	7.62	93.38	86.10	450.97	4588.65
Contrafforte	50	40	200	30.16	58.31	3.26	93.38	49.89	46.47	4588.65

Verifica a fessurazione

Simbologia adottata

n°	indice sezione
Y	ordinata sezione espressa in [m]
B	larghezza sezione espresso in [cm]
H	altezza sezione espressa in [cm]
Af	area ferri zona tesa espresso in [cmq]
Aeff	area efficace espressa in [cmq]
M	momento agente espressa in [kgm]
Mpf	momento di prima fessurazione espressa in [kgm]
ε	deformazione espresso in %
Sm	spaziatura tra le fessure espressa in [mm]
w	apertura delle fessure espressa in [mm]

Combinazioni SLEF

Oggetto	Is	B [cm]	H [cm]	Af [cmq]	Aeff [cmq]	M [kgm]	Mpf [kgm]	ε [%]	Sm [mm]	w [mm]	w _{lim} [mm]
Fondazione	4	100	80	16.08	950.00	-5173	-27926	0.000000	0	0.000	0.400
Contrafforte	50	40	200	58.31	380.00	15301	125832	0.000000	0	0.000	0.400

Combinazioni SLEQ

Oggetto	Is	B [cm]	H [cm]	Af [cmq]	Aeff [cmq]	M [kgm]	Mpf [kgm]	ε [%]	Sm [mm]	w [mm]	w _{lim} [mm]
Fondazione	4	100	80	16.08	950.00	-5173	-27926	0.000000	0	0.000	0.300
Contrafforte	50	40	200	58.31	380.00	15301	125832	0.000000	0	0.000	0.300

Dichiarazioni secondo N.T.C. 2018 (punto 10.2)

Analisi e verifiche svolte con l'ausilio di codici di calcolo

Il sottoscritto, in qualità di calcolatore delle opere in progetto, dichiara quanto segue.

Tipo di analisi svolta

L'analisi strutturale e le verifiche sono condotte con l'ausilio di un codice di calcolo automatico. La verifica della sicurezza degli elementi strutturali è stata valutata con i metodi della scienza delle costruzioni.

Il calcolo dei muri di sostegno viene eseguito secondo le seguenti fasi:

- Calcolo della spinta del terreno
- Verifica a ribaltamento
- Verifica a scorrimento del muro sul piano di posa
- Verifica della stabilità complesso fondazione terreno (carico limite)
- Verifica della stabilità globale
- Calcolo delle sollecitazioni sia del muro che della fondazione, progetto delle armature e relative verifiche dei materiali.

L'analisi strutturale sotto le azioni sismiche è condotta con il metodo dell'analisi statica equivalente secondo le disposizioni del capitolo 7 del D.M. 17/01/2018.

La verifica delle sezioni degli elementi strutturali è eseguita con il metodo degli Stati Limite. Le combinazioni di carico adottate sono esaustive relativamente agli scenari di carico più gravosi cui l'opera sarà soggetta.

Origine e caratteristiche dei codici di calcolo

Titolo	MAX - Analisi e Calcolo Muri di Sostegno
Versione	15.0
Produttore	Aztec Informatica srl, Casali del Manco - loc. Casole Bruzio (CS)
Utente	Studio Associato d'Ingegneria Linguiti
Licenza	AIU5555SI

Affidabilità dei codici di calcolo

Un attento esame preliminare della documentazione a corredo del software ha consentito di valutarne l'affidabilità. La documentazione fornita dal produttore del software contiene un'esauriente descrizione delle basi teoriche, degli algoritmi impiegati e l'individuazione dei campi d'impiego. La società produttrice Aztec Informatica srl ha verificato l'affidabilità e la robustezza del codice di calcolo attraverso un numero significativo di casi prova in cui i risultati dell'analisi numerica sono stati confrontati con soluzioni teoriche.

Modalità di presentazione dei risultati

La relazione di calcolo strutturale presenta i dati di calcolo tale da garantirne la leggibilità, la corretta interpretazione e la riproducibilità. La relazione di calcolo illustra in modo esaustivo i dati in ingresso ed i risultati delle analisi in forma tabellare.

Informazioni generali sull'elaborazione

Il software prevede una serie di controlli automatici che consentono l'individuazione di errori di modellazione, di non rispetto di limitazioni geometriche e di armatura e di presenza di elementi non verificati. Il codice di calcolo consente di visualizzare e controllare, sia in forma grafica che tabellare, i dati del modello strutturale, in modo da avere una visione consapevole del comportamento corretto del modello strutturale.

Giudizio motivato di accettabilità dei risultati

I risultati delle elaborazioni sono stati sottoposti a controlli dal sottoscritto utente del software. Tale valutazione ha compreso il confronto con i risultati di semplici calcoli, eseguiti con metodi tradizionali. Inoltre sulla base di considerazioni riguardanti gli stati tensionali e deformativi determinati, si è valutata la validità delle scelte operate in sede di schematizzazione e di modellazione della struttura e delle azioni.

In base a quanto sopra, io sottoscritto asserisco che l'elaborazione è corretta ed idonea al caso specifico, pertanto i risultati di calcolo sono da ritenersi validi ed accettabili.

Luogo e data

Il progettista
()
